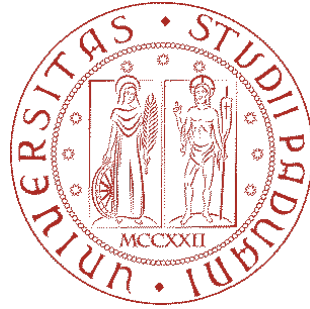


UNIVERSITÀ DEGLI STUDI DI PADOVA
DIPARTIMENTO DI INGEGNERIA CIVILE, EDILE E AMBIENTALE
Department of civil, environmental and architectural engineering

CORSO DI LAUREA IN INGEGNERIA CIVILE



TESI DI LAUREA

CALCOLO DEGLI AUTOVALORI DI MATRICI SIMMETRICHE
DEFINITE POSITIVE CON APPLICAZIONI

Relatore: Chiar.mo Prof. MASSIMILIANO FERRONATO

Laureando: MARCO PILOTTO

Anno accademico 2021–2022

A chi crede in me

Indice

1	Calcolo degli autovalori estremi	7
1.1	Metodo delle potenze	7
1.2	Gradiente coniugato applicato al quoziente di Rayleigh	11
1.3	Deflazione	17
2	Calcolo dell'intero spettro della matrice	25
2.1	Metodo QR	25
2.2	Metodo di Lanczos	29
2.2.1	Problema degli autovalori migranti	30
3	Applicazione degli algoritmi ad una matrice test	35
3.1	Soluzione agli elementi finiti dell'equazione di Poisson	35
4	Conclusioni	45

Introduzione

Il problema della ricerca degli autovalori di una matrice quadrata A è di fondamentale importanza in diversi ambiti dell'ingegneria.

Autovalori ed autovettori sono fondamentali nell'analisi della stabilità delle strutture, nella determinazione delle frequenze proprie di oscillazione del sistema. Altri esempi sono nel campo della statistica, dell'economia o negli algoritmi di page ranking utilizzati dai browser web.

La dimensione e la complessità di questi problemi rendono impraticabile una soluzione analitica, l'unica possibilità è risolvere numericamente il problema utilizzando opportuni algoritmi.

Nel seguente elaborato si affronta la determinazione dello spettro di matrici simmetriche definite positive. In particolare, si considereranno matrici che scaturiscono dalla discretizzazione di equazioni differenziali alla derivate parziali di interesse specifico per applicazioni nell'ambito dell'ingegneria civile.

Data una matrice A simmetrica, il problema della ricerca degli autovalori consiste nella determinazione delle coppie (λ, \vec{v}) , con $\lambda \in \mathbb{R}$ e $\vec{v} \in \mathbb{R}^n$, tali che:

$$A\vec{v} = \lambda\vec{v} \quad (1)$$

Il polinomio caratteristico associato ad A , descritto dalla seguente equazione, ha come radici proprio gli autovalori della matrice.

$$\det(A - \lambda I) = 0 \quad (2)$$

Una volta determinati i coefficienti del polinomio caratteristico è possibile calcolarne le radici, come vedremo però seguire questo procedimento comporta alcune difficoltà.

Per cominciare assumiamo che gli n autovettori di A siano linearmente indipendenti e che vi corrispondano n diversi autovalori. Posso sempre esprimere un generico vettore $\vec{z}_0 \in \mathbb{R}^n$ come combinazione lineare degli autovettori della matrice A .

$$\vec{z}_0 = c_1\vec{v}_1 + c_2\vec{v}_2 + \cdots + c_n\vec{v}_n \quad (3)$$

Moltiplicando per A più volte il vettore iniziale ottengo:

$$\begin{aligned} \vec{z}_1 &= A\vec{z}_0 = c_1\lambda_1\vec{v}_1 + c_2\lambda_2\vec{v}_2 + \cdots + c_n\lambda_n\vec{v}_n \\ \vec{z}_2 &= A\vec{z}_1 = A^2\vec{z}_0 = c_1\lambda_1^2\vec{v}_1 + c_2\lambda_2^2\vec{v}_2 + \cdots + c_n\lambda_n^2\vec{v}_n \\ &\vdots \\ \vec{z}_n &= A\vec{z}_{n-1} = A^n\vec{z}_0 = c_1\lambda_1^n\vec{v}_1 + c_2\lambda_2^n\vec{v}_2 + \cdots + c_n\lambda_n^n\vec{v}_n \end{aligned} \quad (4)$$

Lo spazio vettoriale in cui si trovano i vettori della successione ha dimensione n , ciò significa che necessariamente i vettori generati saranno linearmente dipendenti. Una loro combinazione lineare darà come risultato il vettore nullo

$$a_0\vec{z}_0 + a_1\vec{z}_1 + \cdots + a_{n-1}\vec{z}_{n-1} + \vec{z}_n = 0 \quad (5)$$

L'equazione (5) da luogo ad un sistema lineare dove le incognite sono i coefficienti a_0, a_1, \dots, a_{n-1} . Esprimendo i vettori \vec{z} come nella (4), l'equazione (5) diviene:

$$(a_0 + a_1\lambda_1 + a_2\lambda_1^2 + \cdots + \lambda_1^n)c_1\vec{v}_1 + \cdots + (a_0 + a_1\lambda_n + a_2\lambda_n^2 + \cdots + \lambda_n^n)c_n\vec{v}_n = 0 \quad (6)$$

Ponendo $P(\lambda)$ come:

$$P(\lambda) = a_0 + a_1\lambda + a_2\lambda^2 + \cdots + \lambda^n \quad (7)$$

Riscrivo la (6) come:

$$P(\lambda_1)c_1\vec{v}_1 + P(\lambda_2)c_2\vec{v}_2 + \cdots + P(\lambda_n)c_n\vec{v}_n = 0 \quad (8)$$

Dato che i vettori $\vec{v}_1, \vec{v}_2, \dots, \vec{v}_n$ sono linearmente indipendenti e che i coefficienti c_1, c_2, \dots, c_n sono le componenti del vettore \vec{z}_0 scelto arbitrariamente, la (8) risulta nulla se e solo se:

$$P(\lambda_1) = P(\lambda_2) = \cdots = P(\lambda_n) = 0 \quad (9)$$

$P(\lambda)$ è il polinomio caratteristico di A in quanto esso ha come radici gli autovalori della matrice.

Determinare gli autovalori della matrice A trovando gli zeri del polinomio caratteristico può diventare un'operazione piuttosto complessa per matrici molto grandi. Per prima cosa devo trovare i coefficienti a_0, a_1, \dots, a_{n-1} risolvendo il sistema (5). Le ultime colonne del sistema tenderanno ad essere parallele, infatti la componente sul primo autovettore prevale sulle altre dopo pochi passi rendendo i vettori della successione \vec{z}_k circa paralleli, il problema quindi è mal-condizionato. Supponendo di riuscire a calcolare con precisione i coefficienti dal sistema lineare rimane da risolvere il polinomio caratteristico. Percorrere questa via risulta computazionalmente sconveniente.

Il problema del calcolo degli autovalori di una matrice simmetrica definita positiva (SDP) di grandi dimensioni va quindi affrontato diversamente, mediante l'utilizzo di opportuni algoritmi numerici che dipendono dal tipo e dal numero di autovalori cercati.

Spesso l'interesse ricade solamente verso la ricerca degli autovalori alle estremità dello spettro. In questo caso conviene utilizzare algoritmi come il metodo delle potenze oppure il gradiente coniugato applicato al quoziente di Rayleigh, essi servono rispettivamente a trovare l'autovalore di modulo massimo λ_1 e quello di modulo minimo λ_n . La tecnica della deflazione, invece, fa utilizzo di questi due algoritmi opportunamente modificati per andare a determinare più autovalori appartenenti alle estremità dello spettro. Quest'ultima tecnica risulta sconveniente se l'interesse è quello di determinare l'intero insieme di autovalori di A , in questi casi si preferisce usare metodi più sofisticati ed efficienti come l'algoritmo QR che permettono di determinare l'intero spettro di A . Il metodo QR applicato a matrici arbitrarie può risultare molto dispendioso, si preferisce operare una similitudine tra matrici in modo tale da

ricavare una matrice T tri-diagonale con gli stessi autovalori di A . Il metodo QR applicato ad una matrice tri-diagonale risulta molto più efficiente.

Il presente lavoro di tesi è strutturato come segue. Nel capitolo 1 si parla della ricerca degli autovalori estremi di una matrice SDP, si introducono il metodo delle potenze e il metodo del gradiente coniugato applicato al quoziente di Rayleigh, mentre nel capitolo 2, introducendo il metodo QR, l'interesse si estende all'intero spettro di A . Infine nel capitolo 3 si applicano i metodi implementati ad una matrice derivante dalla soluzione di un problema di ingegneria civile.

Capitolo 1

Calcolo degli autovalori estremi

1.1 Metodo delle potenze

Il metodo delle potenze è un algoritmo iterativo utilizzato per trovare l'autovalore di modulo massimo λ_1 e corrispondente autovettore.

Supponiamo di avere una matrice A di ordine n con gli autovalori ordinati da λ_1 a λ_n , rispettivamente autovalore di modulo massimo e minimo, e con gli autovettori corrispondenti linearmente indipendenti. Creiamo quindi una successione di vettori $\vec{z}_k \in \mathbb{R}^n$ tali che $\vec{z}_{k+1} = A\vec{z}_k$ partendo da un vettore arbitrario \vec{z}_0 di modulo unitario. Riscrivendo il vettore \vec{z}_k come combinazione lineare degli autovettori di A ottengo:

$$\vec{z}_k = c_1 A_1^k \vec{v}_1 + c_2 A_2^k \vec{v}_2 + \cdots + c_n A_n^k \vec{v}_n \quad (1.1)$$

Ricordando che $\lambda_i v_i = Av_i$

$$\vec{z}_k = c_1 \lambda_1^k \vec{v}_1 + c_2 \lambda_2^k \vec{v}_2 + \cdots + c_n \lambda_n^k \vec{v}_n \quad (1.2)$$

dove c_1, \dots, c_n sono i coefficienti della combinazione lineare.

Ora raccogliendo λ_1^k ottengo:

$$\vec{z}_k = \lambda_1^k \left[c_1 \vec{v}_1 + c_2 \left(\frac{\lambda_2}{\lambda_1} \right)^k \vec{v}_2 + \cdots + c_n \left(\frac{\lambda_n}{\lambda_1} \right)^k \vec{v}_n \right] \quad (1.3)$$

Dato che $\lambda_1 > \lambda_i$ per ogni $i = 2, \dots, n$ quando $k \rightarrow \infty$ i termini che moltiplicano gli autovettori diversi da \vec{v}_1 tenderanno a 0 e quindi $\vec{z}_k \simeq c_1 \lambda_1^k \vec{v}_1$. Dunque, con k sufficientemente grande, $\vec{z}_k \rightarrow \vec{v}_1$, ovvero tende all'autovettore associato a λ_1 . Il modulo di λ_1 si trova come limite del rapporto tra le norme di due vettori consecutivi della successione \vec{z}_k

$$|\lambda_1| = \lim_{k \rightarrow \infty} \frac{\|\vec{z}_{k+1}\|}{\|\vec{z}_k\|} \quad (1.4)$$

A seguire viene riportata l'implementazione dell'algoritmo del metodo delle potenze (algoritmo 1).

Algorithm 1 Metodo delle potenze

```
1: procedure POWERMETHOD(A,n,toll)
2:                                     ▷ Preparo valori di partenza
3:    $\vec{z} = \text{zeros}(n, 1); \vec{z}(1) = 1;$ 
4:    $iter = 0; itmax = 300; \lambda = 0;$ 
5:
6:   while  $err \geq toll, iter \leq itmax$  do
7:      $iter = iter + 1;$ 
8:      $\vec{z}_{k+1} = A\vec{z}_k;$                                      ▷ Calcolo il nuovo vettore della sequenza
9:      $\alpha = \text{norm}(\vec{z}_{k+1});$ 
10:     $\vec{z}_k = \vec{z}_{k+1}/\alpha;$ 
11:     $\lambda_1 = \alpha;$ 
12:     $err = \text{abs}(\lambda_1 - \lambda)/\lambda;$                                ▷ Controllo sulla convergenza
13:     $\lambda = \lambda_1;$ 
14:  end while
15: end procedure
```

Se la matrice A è simmetrica e definita positiva è possibile fare un'ulteriore osservazione.

Tenendo presente che gli autovettori di una matrice simmetrica sono ortogonali, possiamo scalarli in modo che essi abbiano norma-2 unitaria ed eseguiamo la seguente operazione:

$$\vec{z}_k^T \vec{z}_k = \lambda_1^{2k} \left[c_1^2 + c_2^2 \left(\frac{\lambda_2}{\lambda_1} \right)^{2k} + \dots + c_n^2 \left(\frac{\lambda_n}{\lambda_1} \right)^{2k} \right] \quad (1.5)$$

L'approssimazione di λ_1 si ricava dal seguente rapporto:

$$|\lambda_1| = \lim_{k \rightarrow \infty} \frac{\sqrt{\vec{z}_{k+1}^T \vec{z}_{k+1}}}{\sqrt{\vec{z}_k^T \vec{z}_k}} = \lim_{k \rightarrow \infty} \frac{\|\vec{z}_{k+1}\|_2}{\|\vec{z}_k\|_2} \quad (1.6)$$

Come è visibile dal confronto tra la (1.3) e la (1.5), nel secondo caso la convergenza è più rapida in quanto i termini sono elevati a $2k$ e tenderanno a zero più velocemente. Dato che il rapporto definito dalla (1.6) non è altro che un rapporto tra le norme-2 dei vettori \vec{z}_{k+1} e \vec{z}_k . Per matrici simmetriche, conviene utilizzare quest'ultima norma nell'equazione (1.4) per velocizzare la convergenza.

Al fine di capire quanto più rapida sarà la convergenza, basta osservare dalla (1.3) che $\vec{z}_k \rightarrow \vec{v}_1$ con un errore il cui termine dominante è $(\lambda_2/\lambda_1)^k$. Esprimiamo quindi l'errore come:

$$\epsilon_k = C \left(\frac{\lambda_2}{\lambda_1} \right)^k \quad (1.7)$$

Dove C è una costante. Applicando il logaritmo la (1.7) diventa:

$$\log \epsilon_k = \log C + k \log \left(\frac{\lambda_2}{\lambda_1} \right) \quad (1.8)$$

Se A è simmetrica definita positiva e nel metodo delle potenze si utilizza la norma-2 nella (1.8) il secondo addendo diventerà $2k \log(\lambda_2/\lambda_1)$ e la velocità di convergenza sarà doppia.

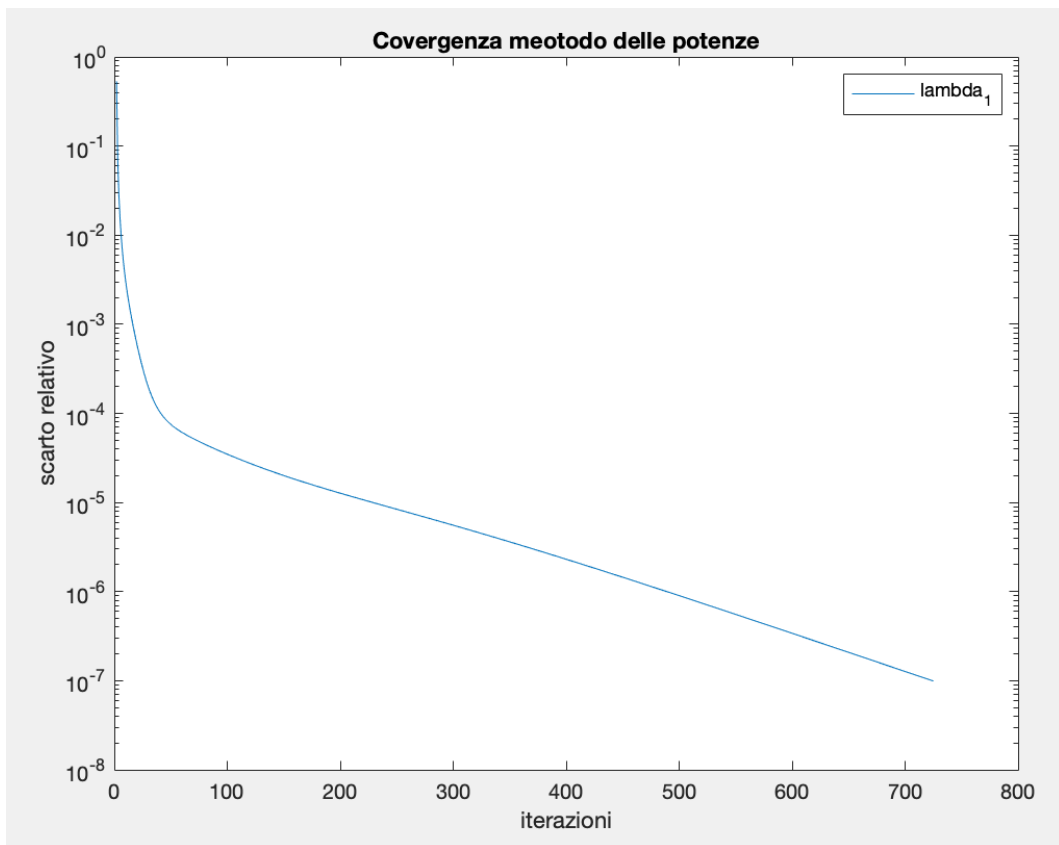


Figura 1.2: Profilo di convergenza del metodo delle potenze

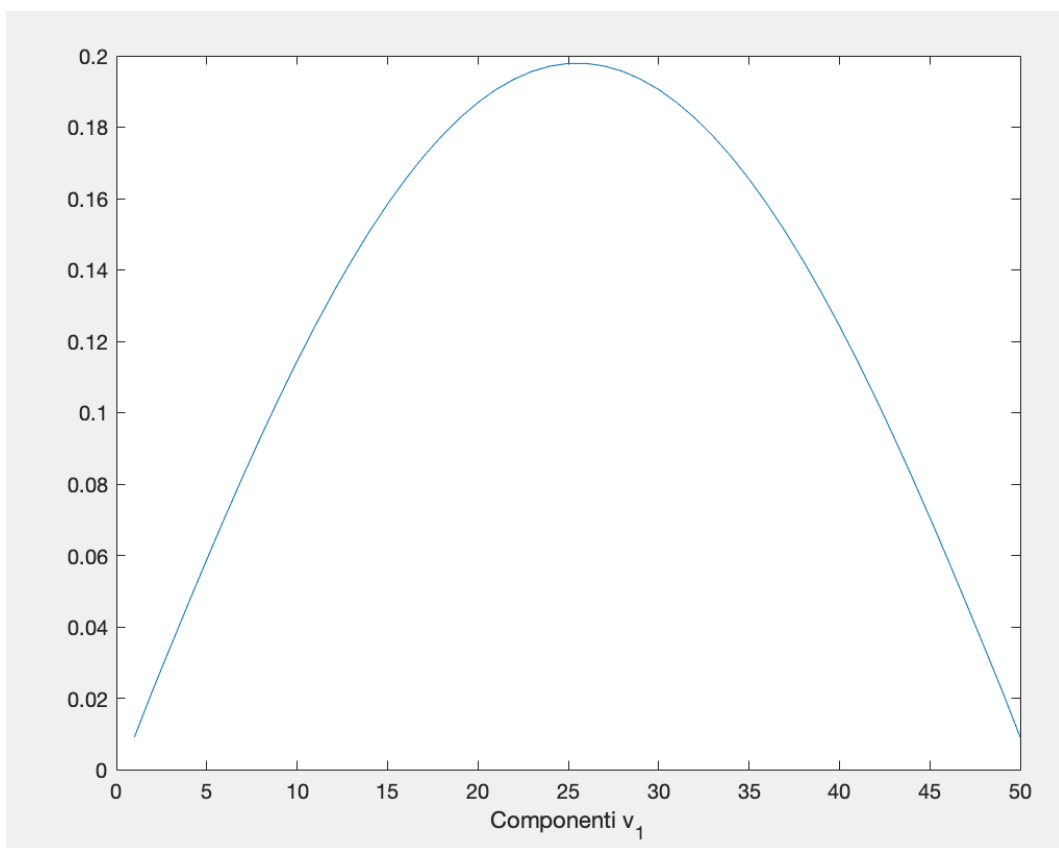


Figura 1.3: Rappresentazione delle componenti di \vec{v}_1

In questo caso la convergenza del metodo, visibile in figura 1.2, non è molto veloce, questo accade perché il valore di λ_2 è 20.861189485 quindi molto vicino in modulo a λ_1 .

Troviamo riscontro di ciò anche nell'equazione (1.8) che rappresenta la velocità di convergenza del metodo. Più il rapporto (λ_2/λ_1) si avvicina all'unità più il metodo sarà lento a convergere.

A seguire, introducendo la deflazione, vedremo come cercando autovalori diversi da λ_1 , con la proprietà di essere più "isolati" dal successivo, il profilo di convergenza del metodo delle potenze diventi più ripido.

1.2 Gradiente coniugato applicato al quoziente di Rayleigh

Questo metodo è applicabile solo nel caso la matrice A sia simmetrica e definita positiva, e permette di calcolare l'autovalore minimo λ_n . Si definisce il quoziente di Rayleigh come:

$$q(\vec{z}) = \frac{\vec{z}^T A \vec{z}}{\vec{z}^T \vec{z}} \quad (1.10)$$

È verificabile che questo rapporto soddisfa le seguenti proprietà:

1. se \vec{v}_i è un autovettore di A, allora $q(\vec{v}_i)$ è uguale a λ_i .
2. $\nabla q(\vec{z})$ è pari a zero \forall autovettore di A.
3. $q(\vec{z})$ è limitato e assume valori minimo e massimo, per $\vec{z} = \vec{v}_n$ e $\vec{z} = \vec{v}_1$, rispettivamente.

Riscrivo $q(\vec{z})$ nel sistema di riferimento degli autovettori e ottengo la seguente espressione:

$$q(\vec{z}) = \frac{(c_1 \vec{v}_1 + \dots + c_n \vec{v}_n)^T A (c_1 \vec{v}_1 + \dots + c_n \vec{v}_n)}{(c_1 \vec{v}_1 + \dots + c_n \vec{v}_n)^T (c_1 \vec{v}_1 + \dots + c_n \vec{v}_n)} \quad (1.11)$$

Ricordo che gli autovettori di una matrice simmetrica sono ortogonali e riscrivo la (1.11) come:

$$q(\vec{z}) = \frac{\lambda_1 c_1^2 + \lambda_2 c_2^2 + \dots + \lambda_n c_n^2}{c_1^2 + c_2^2 + \dots + c_n^2} \quad (1.12)$$

Noto che la (1.12) è sempre positiva ed il valore di $q(\vec{z})$ dovrà essere compreso tra λ_1 e λ_n .

Essendo quindi il quoziente di Rayleigh una funzione sempre non negativa posso immaginare di applicare un metodo iterativo come quello del gradiente coniugato per trovarne il minimo che sappiamo corrispondere a λ_n .

Poniamo \vec{z}_k come approssimazione dell'autovettore \vec{v}_n e calcoliamo la nuova approssimazione come:

$$\vec{z}_{k+1} = \vec{z}_k + \alpha_k \vec{p}_k \quad (1.13)$$

Il fattore α_k presente nella (1.13) deve rendere minimo il quoziente di Rayleigh lungo la direzione \vec{p}_k . Per trovare il corrispondente valore risolvo la seguente equazione:

$$\frac{\partial}{\partial \alpha_k} \left[\frac{\vec{z}_{k+1}^T A \vec{z}_{k+1}}{\vec{z}_{k+1}^T \vec{z}_{k+1}} \right] = 0 \quad (1.14)$$

L'equazione (1.14) ha due radici:

$$\alpha_{k1,2} = \frac{(ed - mb) \pm \sqrt{\Delta}}{2(bc - ad)} \quad (1.15)$$

dove:

$$a = \vec{p}_k^T A \vec{z}_k \quad b = \vec{p}_k^T A \vec{p}_k \quad c = \vec{p}_k^T \vec{z}_k \quad d = \vec{p}_k^T \vec{p}_k \quad e = \vec{z}_k^T A \vec{z}_k \quad m = \vec{z}_k^T \vec{z}_k$$

$$\Delta = (ed - mb)^2 - 4(bc - ad)(ma - ec)$$

Le due radici corrispondono al punto di minimo e di massimo di $q(\vec{z}_{k+1})$ lungo la direzione \vec{p}_k . Dal momento che l'interesse è la ricerca del minimo, tra le due soluzioni prendo quella con segno positivo che mi assicura la convergenza verso λ_n . Al contrario calcolando α dalla (1.15) con segno negativo lo schema convergerebbe all'autovalore massimo.

Come nel gradiente coniugato usato per la risoluzione di sistemi lineari, si utilizza come direzione di ricerca quella del gradiente che viene opportunamente ruotata mediante l'uso di un coefficiente β_k che rende le direzioni coniugate tra loro rispetto alla conica generata dalla matrice A . La direzione di ricerca è quindi aggiornata mediante la seguente formula ricorrente:

$$\vec{p}_{k+1} = \vec{g}_{k+1} + \beta_k \vec{p}_k \quad (1.16)$$

Il gradiente è definito dalla seguente equazione:

$$\begin{aligned} \nabla q(\vec{z}) = \vec{g}_{k+1} &= \frac{2A\vec{z}_{k+1}(\vec{z}_{k+1}^T \vec{z}_{k+1}) - 2\vec{z}_{k+1}(\vec{z}_{k+1}^T A \vec{z}_{k+1})}{(\vec{z}_{k+1}^T \vec{z}_{k+1})^2} \\ &= \frac{2}{\vec{z}_{k+1}^T \vec{z}_{k+1}} [A\vec{z}_{k+1} - q(\vec{z}_{k+1})\vec{z}_{k+1}] = \frac{2\vec{r}_{k+1}}{\vec{z}_{k+1}^T \vec{z}_{k+1}} \end{aligned} \quad (1.17)$$

dove \vec{r}_{k+1} è il residuo associato all'uso di \vec{z}_{k+1} come approssimazione di \vec{v}_n .

Nota che esso è pari a zero ogni volta che \vec{z}_{k+1} è uguale ad un qualsiasi autovalore della matrice (seconda proprietà del quoziente di Rayleigh).

Il controllo di convergenza dello schema viene fatto su una norma del residuo \vec{r}_k . Nel caso lo schema non sia giunto a convergenza si procede aggiornando la direzione di ricerca \vec{p}_k .

Il coefficiente β_k viene calcolato facendo in modo che la nuova direzione di ricerca sia A-ortogonale alla precedente. Si può dimostrare, dalla proprietà di ottimo del gradiente coniugato, che questo implica che tutte le direzioni di ricerca siano A-ortogonali. Questa condizione si impone con la (1.18) da cui posso ricavare direttamente β_k .

$$\vec{p}_{k+1}^T A \vec{p}_k = (\vec{g}_{k+1} + \beta_k \vec{p}_k)^T A \vec{p}_k = 0 \quad \rightarrow \quad \beta_k = -\frac{\vec{g}_{k+1}^T A \vec{p}_k}{\vec{p}_k^T A \vec{p}_k} \quad (1.18)$$

A questo punto è stato ricavato tutto il necessario per la costruzione dell'algoritmo del gradiente coniugato applicato al quoziente di Rayleigh.

L'algoritmo 2 riportato alla fine del paragrafo però non è quello appena ricavato, in quanto il gradiente coniugato deve essere opportunamente modificato per raggiungere più velocemente la convergenza.

Immaginiamo di introdurre una matrice di preconditionamento X simmetrica e non singolare tale che $\vec{y} = X\vec{z}$

$$q(\vec{y}) = \frac{\vec{z}^T X X^{-1} A X^{-1} X \vec{z}}{\vec{z}^T X X^{-1} X^{-1} X \vec{z}} = \frac{\vec{y}^T G \vec{y}}{\vec{y}^T K^{-1} \vec{y}} \quad (1.19)$$

con $G = X^{-1} A X^{-1}$ e $K^{-1} = X^{-1} X^{-1}$.

La nuova matrice KG è simile alla matrice A quindi gli autovalori non cambiano:

$$KG = X X X^{-1} A X^{-1} = X A X^{-1} \quad (1.20)$$

Ripercorrendo tutte le operazioni fatte in precedenza per l'algoritmo non modificato si può dimostrare che le uniche differenze nelle formule ricorrenti usate per calcolare i termini si hanno nel calcolo di \vec{p}_k e β_k .

$$\vec{p}_{k+1} = X^{-1} \vec{p}_{k+1} = X^{-1} \vec{g}_{k+1} + \beta_k X \vec{p}_k \quad (1.21)$$

moltiplicando entrambi i membri per X^{-1} ottengo:

$$K^{-1} \vec{p}_{k+1} = K^{-1} \vec{g}_{k+1} + \beta_k \vec{p}_k \quad (1.22)$$

$$\beta_k' = \frac{\vec{g}_{k+1}^T X^{-1} X^{-1} A X^{-1} X \vec{p}_k}{\vec{p}_k^T X X^{-1} A X^{-1} X \vec{p}_k} = \frac{(K^{-1} \vec{g}_{k+1})^T A \vec{p}_k}{\vec{p}_k^T A \vec{p}_k} \quad (1.23)$$

L'algoritmo modificato con il preconditionatore differisce soltanto nel calcolo del vettore $\vec{v} = K^{-1} \vec{g}$ ad ogni iterazione. L'applicazione di K^{-1} può essere fatta a parte come mostrato nell'algoritmo 2.

L'algoritmo così modificato ha una convergenza molto più rapida a patto che la matrice X , e quindi K^{-1} , sia scelta opportunamente.

Si può dimostrare che la convergenza del metodo dipende dal numero di condizionamento spettrale dell'Hessiano di $q(\vec{z})$ calcolato in \vec{v}_n , che risulta pari alla seguente espressione:

$$\kappa[H(\vec{v}_n)] = \frac{\lambda_1 - \lambda_n}{\lambda_{n-1} - \lambda_n} \quad (1.24)$$

Generalmente il valore di κ non è piccolo, infatti la differenza tra λ_1 e λ_n è molto maggiore rispetto a quella tra λ_{n-1} e λ_n . Mi aspetto quindi di raggiungere la convergenza lentamente.

Nel caso dell'algoritmo modificato la (1.24), scegliendo $K^{-1} = A^{-1}$, diventa:

$$\kappa[H(\vec{y}_n)] = \frac{\lambda_1 - \lambda_n}{\lambda_{n-1} - \lambda_n} \frac{\lambda_{n-1}}{\lambda_1} = \kappa[H(\vec{v}_n)] \frac{\lambda_{n-1}}{\lambda_1} \quad (1.25)$$

Dal momento che $\lambda_{n-1}/\lambda_1 < 1$ è immediato concludere che il numero di condizionamento spettrale dell'Hessiano è molto più piccolo rispetto al caso non preconditionato e quindi lo schema avrà convergenza molto più rapida.

Come apprendo dalle (1.24), (1.25) utilizzando A^{-1} come matrice di preconditionamento si ottiene una buona accelerazione dello schema, tuttavia l'applicazione dell'inversa di una matrice è molto costosa. Al suo posto, si opta per l'applicazione di un'approssimazione dell'inversa di A , esplicita o implicita.

La scelta del preconditionatore è fondamentale, la sua applicazione tramite il calcolo di \vec{v} deve avere un costo computazionale il più basso possibile e l'accelerazione ricavata deve giustificare la maggior complessità del nuovo algoritmo modificato.

Nelle applicazioni a seguire verranno utilizzati due diversi preconditionatori.

La matrice di preconditionamento di Jacobi deriva dalla seguente scomposizione di A :

$$A = F - M - N \quad (1.26)$$

La matrice F è una matrice diagonale che contiene gli elementi sulla diagonale di A , $-M$ è una matrice triangolare bassa ed $-N$ è triangolare alta contenenti i restanti elementi di A . Ipotizzando che la matrice A sia diagonalmente dominante gli elementi delle matrici $-M$ e $-N$ risultano trascurabili rispetto ai coefficienti della diagonale contenuti in F . L'inversa di F sarà quindi un'approssimazione di A^{-1} .

$$K^{-1} = F^{-1} \quad (1.27)$$

Chiaramente questo preconditionatore produce migliori risultati tanto più la matrice A è diagonalmente dominante. L'altro preconditionatore utilizzato è la decomposta incompleta di Cholesky dove si pone:

$$K^{-1} = (\tilde{L}\tilde{L}^T)^{-1} \quad (1.28)$$

\tilde{L} è il fattore triangolare incompleto di Cholesky, esso infatti viene calcolato solamente in alcune posizioni predefinite.

Operativamente non viene calcolata esplicitamente l'inversa di $\tilde{L}\tilde{L}^T$ ma vengono risolti in successione due sistemi triangolari.

Ponendo $\vec{v} = (\tilde{L}\tilde{L}^T)^{-1}\vec{r}_{k+1}$ e $\vec{w} = \tilde{L}^T\vec{v}$

$$\tilde{L}\vec{w} = \vec{r}_{k+1} \quad (1.29)$$

$$\tilde{L}^T\vec{v} = \vec{w} \quad (1.30)$$

Risolviendo il secondo sistema (1.30) ottengo il vettore \vec{v} che posso applicare allo schema.

Il costo computazionale di questo preconditionatore è maggiore e dipende da quanti elementi di \tilde{L} calcolo. Nella versione più semplice di questo preconditionatore si calcolano i termini solamente nelle posizioni dove A contiene elementi non nulli, ma questo non significa che non si possano adottare altri criteri.

Algorithm 2 GCM applicato al quoziente di Rayleigh

```
1: procedure GCM RAYLEIGH(A,K,toll,iprec,n)
2:                                     ▷ Preparo valori di partenza
3:    $\vec{z} = \text{zeros}(n, 1); \vec{z}(1) = 1;$ 
4:    $\vec{s} = A\vec{z}; \vec{e} = \vec{z}'\vec{s}; \vec{m} = \vec{z}'\vec{z}; q = \vec{e}/\vec{m};$ 
5:    $\vec{r} = \vec{s} - q\vec{z}; r_0 = \text{norm}(\vec{r});$ 
6:    $\vec{g} = (2\vec{r})/\vec{m};$ 
7:    $\vec{p} = \text{appl prc}(K, \text{iprec}, \vec{g});$                                      ▷ Applico preconditionatore
8:    $itmax = 300; iter = 0; rr = 1;$ 
9:
10:  while  $iter \leq itmax, rr \geq toll$  do
11:     $iter = iter + 1;$ 
12:     $\vec{t} = A\vec{p};$                                      ▷ Preparo prodotto matrice-vettore
13:     $\vec{a} = \vec{p}'\vec{s}; \vec{b} = \vec{p}'\vec{t}; \vec{c} = \vec{p}'\vec{z}; \vec{d} = \vec{p}'\vec{p};$ 
14:     $\Delta = (\vec{e}\vec{d} - \vec{m}\vec{b})^2 - 4(\vec{b}\vec{c} - \vec{a}\vec{d})(\vec{m}\vec{a} - \vec{e}\vec{c});$ 
15:     $\alpha = 0.5(\vec{e}\vec{d} - \vec{m}\vec{b} + \sqrt{\Delta})/(\vec{b}\vec{c} - \vec{a}\vec{d})$                                      ▷ Calcolo il coefficiente  $\alpha$ 
16:
17:     $\vec{z} = \vec{z} + \alpha\vec{p};$                                      ▷ Trovo la nuova approssimazione dell'autovettore  $\vec{v}_n$ 
18:
19:     $\vec{s} = \vec{s} + \alpha\vec{t}; \vec{e} = \vec{z}'\vec{s}; \vec{m} = \vec{z}'\vec{z};$ 
20:     $q = \vec{e}/\vec{m};$                                      ▷ Noto che  $q = \lambda_n$  se  $\vec{z} = \vec{v}_n$ 
21:     $\vec{r} = \vec{s} - q\vec{z};$                                      ▷ Calcolo il nuovo residuo
22:
23:     $\vec{g} = (2\vec{r})/\vec{m}; \vec{v} = \text{appl prc}(K, \text{iprec}, \vec{g});$                                      ▷ Applico preconditionatore
24:     $\beta = -(\vec{v}'\vec{t})/\vec{b};$ 
25:     $\vec{p} = \vec{v} + \beta\vec{p};$                                      ▷ Trovo la nuova direzione di ricerca
26:     $rr = \text{norm}(\vec{r})/r_0$                                      ▷ Controllo sulla convergenza
27:  end while
28: end procedure
```

Applichiamo l'algoritmo 2 alla matrice C introdotta nell'equazione (1.9).

In figura 1.4 vengono riportati i profili di convergenza ottenuti con il metodo del gradiente coniugato applicato a $q(\vec{z})$ variando il preconditionatore.

Vediamo come l'effetto dei preconditionatori sia evidente anche per matrici relativamente piccole. I risultati migliori in termini di velocità di convergenza si ottengono con la decomposta incompleta di Cholesky. Il vantaggio che deriva dal suo utilizzo giustifica il maggior costo computazionale per ciascuna iterazione.

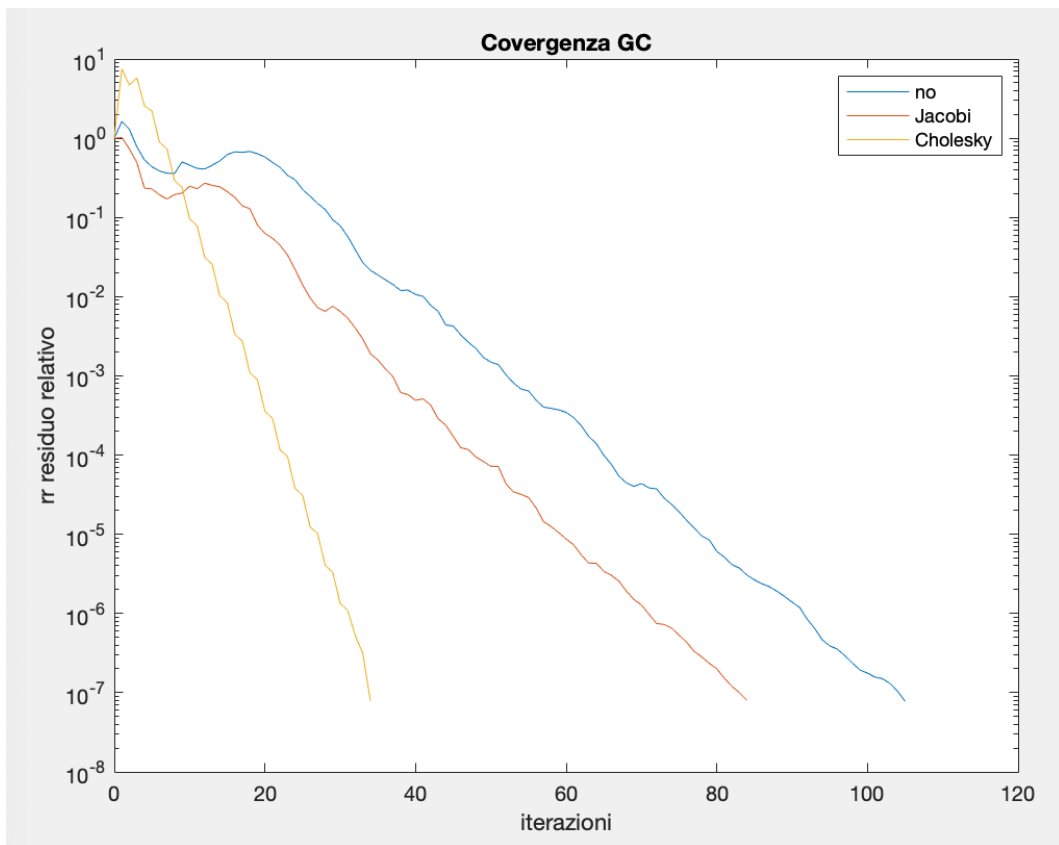


Figura 1.4: Andamento del valore di λ_n al variare del preconditionatore. Matrice C $n = 50$

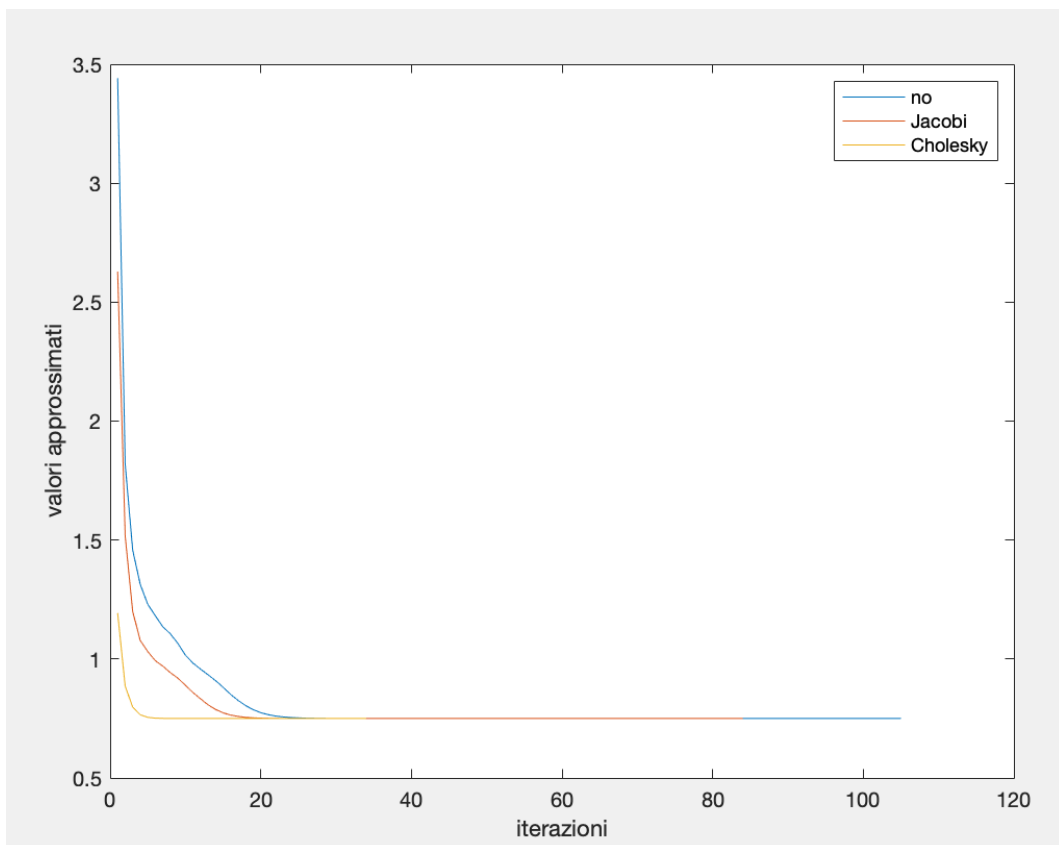


Figura 1.5: Profili di convergenza del calcolo dell'autovalore minimo di C $n = 50$ al variare del preconditionatore

La figura 1.5 mostra come variano i valori approssimati di λ_n durante l'applicazione dello schema. Anche qui è possibile vedere come gli schemi modificati raggiungano più velocemente un intorno del valore finale di λ_n .

In seguito sono riportati in tabella 1.2 i risultati numerici ottenuti:

Valore approssimato	Iterazioni	Precondizionatore
0.750000000	105	$K^{-1} = I$
0.750000000	84	$K^{-1} = F^{-1}$
0.750000000	34	$K^{-1} = (\tilde{L}\tilde{L}^T)^{-1}$

Tabella 1.2: Risultati del calcolo di λ_n al variare del preconditionatore

Il valore reale di λ_n è 0.750000000. In tutti e tre in casi il valore approssimato è molto vicino a quello reale. Fissata la tolleranza del residuo relativo a 10^{-8} , la differenza sta nel numero di iterazioni compiute fino alla convergenza

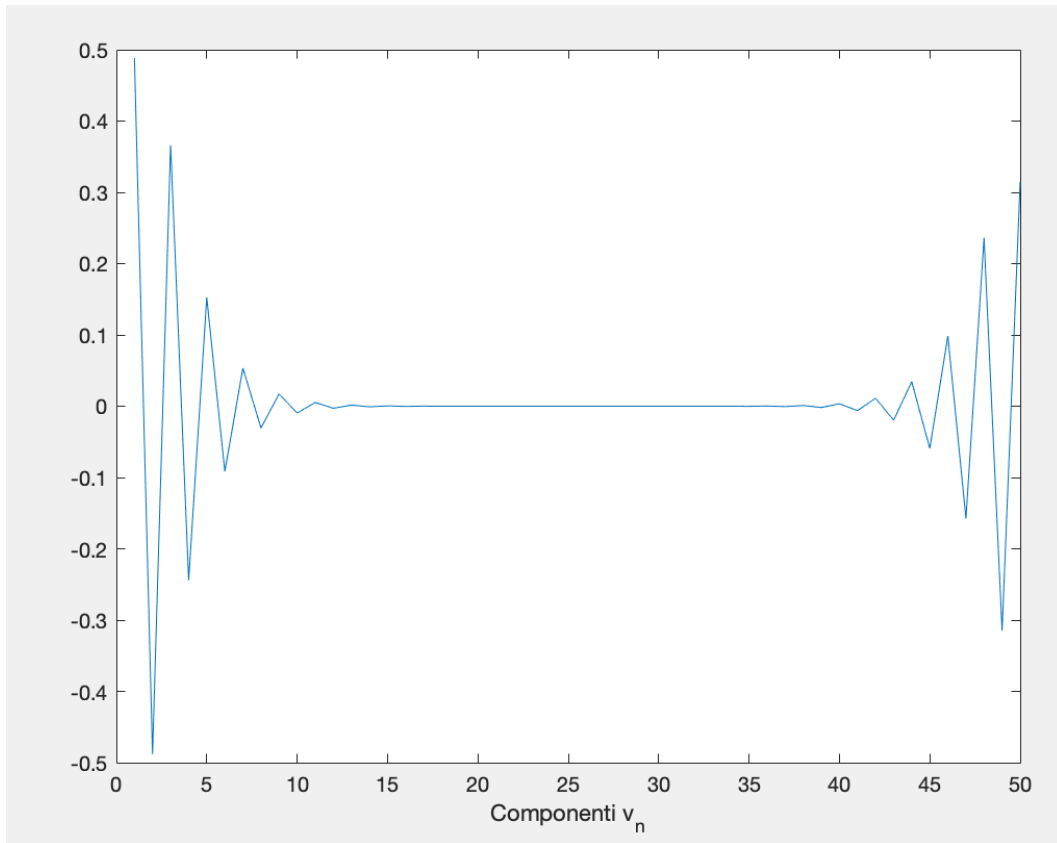


Figura 1.6: Rappresentazione delle componenti dell'autovettore \vec{v}_n

1.3 Deflazione

La tecnica della deflazione viene utilizzata quando, per specifiche applicazioni, non sono solamente interessato agli autovalori estremi λ_1 e λ_n ma, ad esempio, i j autovalori più grandi o più piccoli.

Come visto in precedenza il metodo delle potenze applicato ad una matrice A permette di trovare l'autovalore λ_1 e rispettivo autovettore.

Immaginando di applicare una trasformazione alla matrice A che renda "invisibile" al metodo delle potenze λ_1 e \vec{v}_1 si può isolare il secondo autovalore

più grande e rispettivo autovettore. Costruiamo la matrice A_1 come:

$$A_1 = A - \lambda_1 \vec{v}_1 \vec{v}_1^T \quad (1.31)$$

\vec{v}_1 viene precedentemente scalato in modo da avere norma-2 unitaria.

Vediamo che una matrice A_1 così costruita mantiene gli stessi autovalori della matrice A escluso λ_1 che diventa uguale a zero.

$$A_1 \vec{v}_1 = A \vec{v}_1 - \lambda_1 \vec{v}_1 \vec{v}_1^T \vec{v}_1 = \lambda_1 \vec{v}_1 - \lambda_1 \vec{v}_1 = 0 \quad (1.32)$$

$$A_1 \vec{v}_k = A \vec{v}_k - \lambda_1 \vec{v}_1 \vec{v}_1^T \vec{v}_k = \lambda_k \vec{v}_k \quad k = 2, \dots, n \quad (1.33)$$

L'applicazione della deflazione al metodo delle potenze consiste nel modificare la matrice di partenza in modo da azzerare man mano gli autovalori più grandi che trovo di volta in volta con il metodo iterativo. Per farlo come vedo dalla (1.31) necessito di λ_i e rispettivo autovettore normalizzato in modo da avere norma-2 unitaria.

Per la ricerca del j-esimo autovalore più grande della matrice A la matrice A_j sarà così determinata:

$$A_j = A - \sum_{i=1}^j \lambda_i \vec{v}_i \vec{v}_i^T \quad (1.34)$$

Deflazionando il metodo j volte posso trovare i j autovalori più grandi.

Per quanto riguarda l'implementazione su Matlab, l'unica modifica apportata all'algoritmo 1 si trova nella riga 8 dove viene inserita l'equazione (1.34) con l'accortezza di non calcolare la matrice A_j , che altrimenti perderebbe la sua sparsità, ma moltiplicando direttamente per \vec{z}_k .

$$A_j \vec{z}_k = A \vec{z}_k - \lambda_1 \vec{v}_1^T \vec{z}_k \vec{v}_1 - \dots - \lambda_j \vec{v}_j^T \vec{z}_k \vec{v}_j \quad (1.35)$$

Si riportano i risultati ottenuti applicando la tecnica appena descritta alla matrice C (1.9).

La figura 1.7 ci mostra, per ogni autovalore da λ_1 a λ_8 , l'andamento dei valori approssimati.

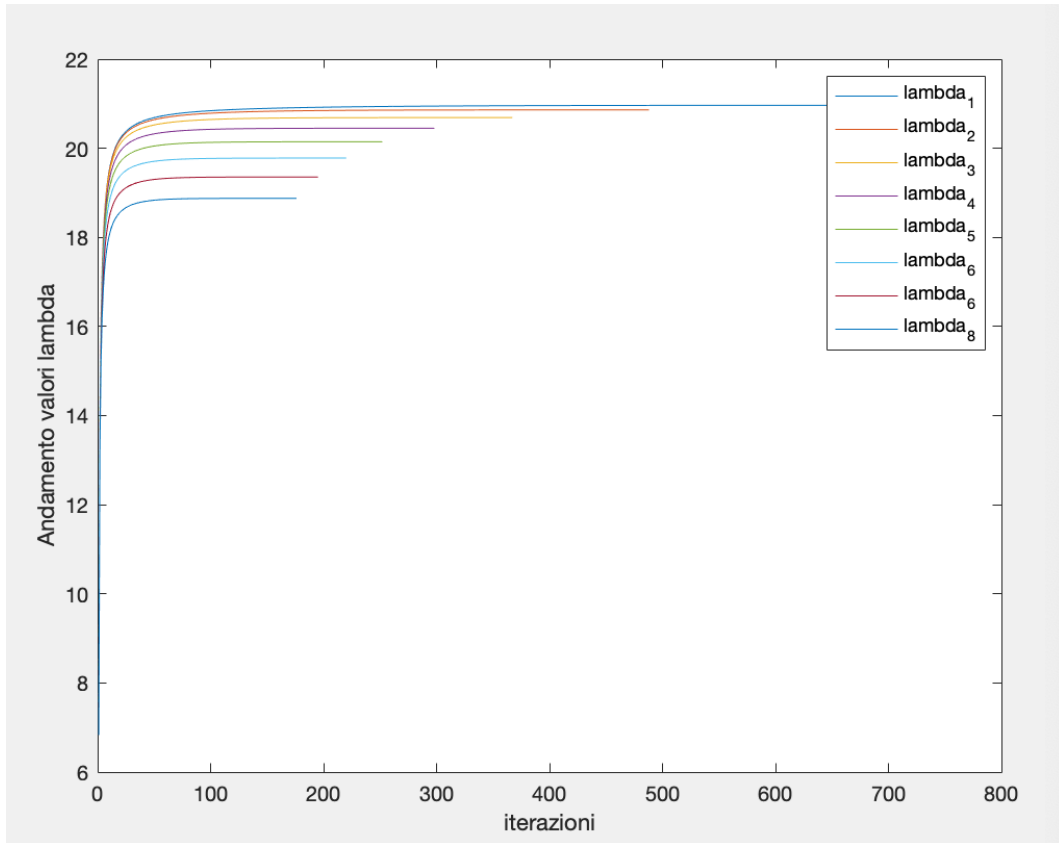


Figura 1.7: Andamento del modulo degli autovalori all'estremità superiore dello spettro di C

Il numero di iterazioni necessarie per raggiungere la convergenza diminuisce ad ogni nuovo autovalore trovato (figura 1.8).

La spiegazione di questo fenomeno si ha ricordando che il metodo delle potenze è meno efficace quando sono presenti autovalori consecutivi molto vicini in modulo. Questo comporta che il rapporto con peso maggiore sull'errore $(\lambda_{i+1}/\lambda_i)^k$ dell'equazione (1.3) tenda a zero molto più lentamente. In questi casi il metodo convergerà rapidamente ad un valore prossimo a λ_i e λ_{i+1} , la successiva distinzione dei due autovalori avverrà più lentamente.

Noto, dalla tabella 1.3, come il distanziamento tra λ_i e λ_{i+1} aumenti progressivamente, di conseguenza aumenta la velocità di convergenza. Questa osservazione è verificata per $\lambda_1, \dots, \lambda_8$, non è possibile generalizzare.

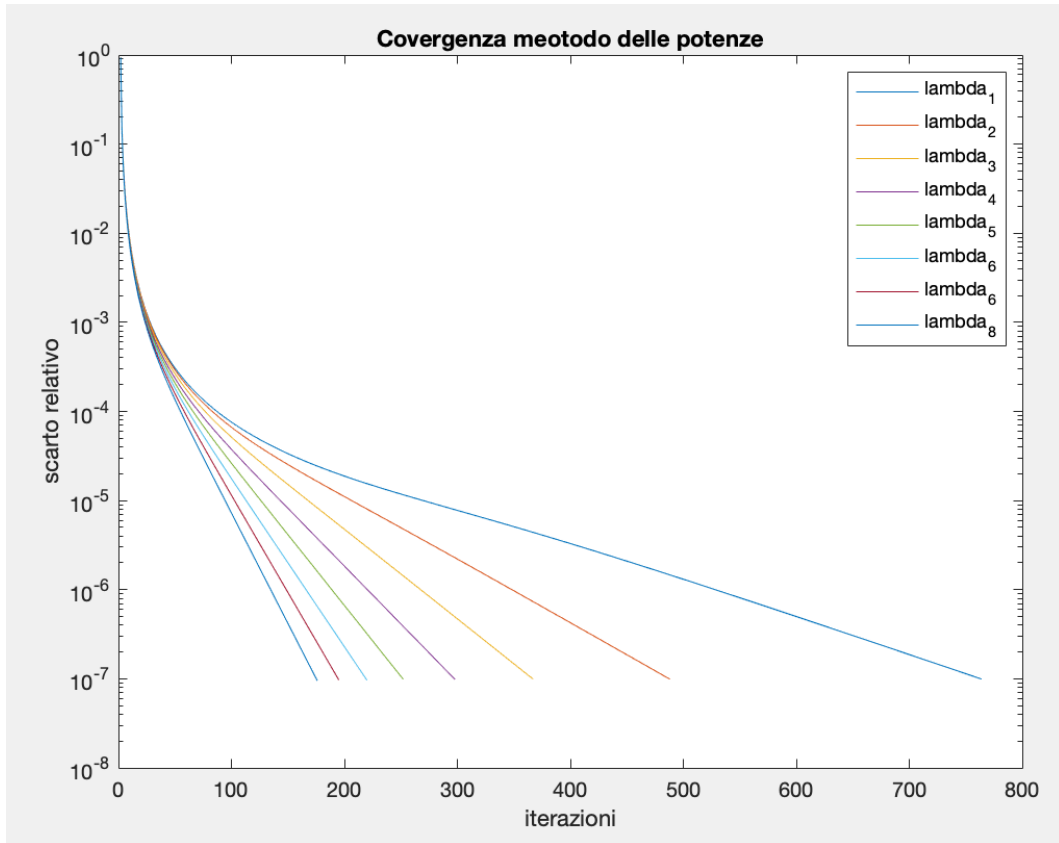


Figura 1.8: Profili di convergenza del metodo delle potenze deflazionato per i primi otto autovalori di C

A seguire, in tabella 1.3, si riportano i risultati numerici ottenuti deflazionando il metodo delle potenze.

	valore approssimato	valore reale	iterazioni
λ_1	20.965011174	20.965219707	764
λ_2	20.861273977	20.861189485	483
λ_3	20.688873221	20.688837421	363
λ_4	20.449718181	20.449697430	298
λ_5	20.145902209	20.145890108	251
λ_6	19.780106337	19.780096315	220
λ_7	19.355529660	19.355523856	195
λ_8	18.875873296	18.875867748	176

Tabella 1.3: Confronto tra i valori reali ed approssimati per gli autovalori più grandi di C

Spostando l'attenzione all'altra estremità dello spettro e quindi alla ricerca degli autovalori più piccoli si può pensare di deflazionare il gradiente coniugato applicato al quoziente di Rayleigh facendo una semplice osservazione.

Nel caso il vettore iniziale \vec{z}_0 abbia componente nulla ($\vec{v}_n^T \vec{z}_0 = 0$) lungo l'autovettore \vec{v}_n lo schema non converge a λ_n ma a λ_{n-1} .

Infatti, non essendoci una componente lungo \vec{v}_n sul vettore iniziale neppure le successive direzioni di ricerca \vec{p}_k e vettori \vec{z}_k avranno componente in \vec{v}_n . Se riscriviamo \vec{z}_k come combinazione lineare dello spazio degli autovettori di A il coefficiente moltiplicativo di \vec{v}_n sarà sempre zero.

Se l'interesse fosse rivolto a λ_{n-2} sarà necessario scegliere un vettore iniziale ortogonale contemporaneamente a \vec{v}_n e \vec{v}_{n-1} e così via.

Sulla base di questa osservazione posso applicare la deflazione per ricavare i j autovalori più piccoli di una matrice simmetrica definita positiva. Non mi basta far altro che trovare gli autovettori $\vec{v}_n, \vec{v}_{n-1}, \dots, \vec{v}_{j+1}$ e relativi autovalori applicando l'algoritmo 2 più volte. Successivamente posso riapplicare lo schema scegliendo come vettore iniziale \vec{v}_0 , avente componente nulla lungo tutte le direzioni dei precedenti autovettori, in questo modo lo schema convergerà a λ_j e \vec{v}_j .

Algorithm 3 Ortogonalizzazione di Gram-schmidt

```

1: procedure GRAM-SCHMIDT( $\vec{z}_k, V, i$ )
2:   ▷ Questa funzione ortogonalizza  $\vec{z}$  in entrata agli altri vettori contenuti in  $V$ 
3:   ▷ Le colonne della matrice  $V$  contengono gli autovettori,  $i$  è la dimensione
4:   for  $j = 1 \rightarrow i - 1$  do
5:      $w = V_{:,j}; \vec{x} = \vec{z};$ 
6:      $\vec{z} = \vec{z} - (\vec{x}^T w) / (w^T w) w$ 
7:   end for
8:    $\vec{z} = \vec{z} / \text{norm}(\vec{z})$ 
9: end procedure

```

L'algoritmo 3 appena riportato ortonormalizza ad un sottospazio di autovettori di A il vettore iniziale \vec{z}_0 . In linea teorica basterebbe richiamare questa funzione una sola volta in modo da trovare il vettore da cui partire ed applicare la deflazione.

Per via dell'accumularsi degli errori di arrotondamento dopo alcuni passi si svilupperanno delle componenti non nulle associate a \vec{v}_n . Ciò significa che pur scegliendo un vettore iniziale "appropriato" lo schema seppur più lentamente convergerà comunque a λ_n .

Dalle figure 1.9 e 1.10 possiamo vedere come la scelta del vettore iniziale possa influire sulle proprietà di convergenza dello schema, tuttavia ad un certo punto si innesca la convergenza asintotica all'autovalore minimo della matrice.

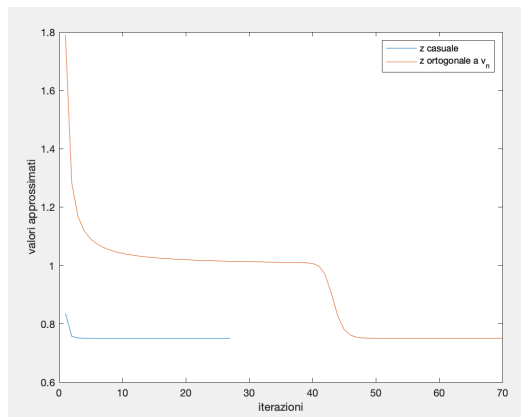


Figura 1.9: Andamento dei valori di λ calcolati durante la convergenza con \vec{z} casuale e \vec{z} ortogonale a \vec{v}_n

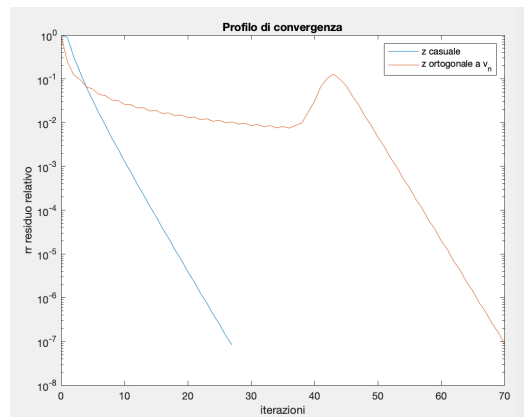


Figura 1.10: Profili di convergenza del GCM applicato a $q(\vec{z})$ ottenuti con due diversi vettori iniziali

Scegliendo un vettore iniziale \vec{z}_0 ortogonale a \vec{v}_n il valore trovato di λ inizialmente tende a λ_{n-2} , ma dopo poche iterazioni si stabilizza su λ_n . A

fronte dello stesso risultato abbiamo però una convergenza più lenta.

In questo caso, \vec{z}_0 avrà componente lungo \vec{v}_{n-2} maggiore rispetto a quella su \vec{v}_{n-1} .

Risulta necessario, al fine di mantenere l'ortogonalità tra i vettori, richiamare l'algoritmo 3 all'interno dell'algoritmo 2 dopo aver trovato la nuova approssimazione di \vec{z}_k alla riga 17.

Non è necessario richiamare Gram-Schmidt ad ogni iterazione. Dopo qualche prova si può concludere che la frequenza di richiamo dipende molto dalle caratteristiche della matrice e dalla sua dimensione. Nel caso di C è necessario ri-ortogonalizzare ogni 2/3 iterazioni mentre per matrici più grandi è sufficiente farlo ogni 5/10.

In seguito si riportano i risultati ottenuti deflazionando il gradiente coniugato applicato a $q(\vec{z})$.

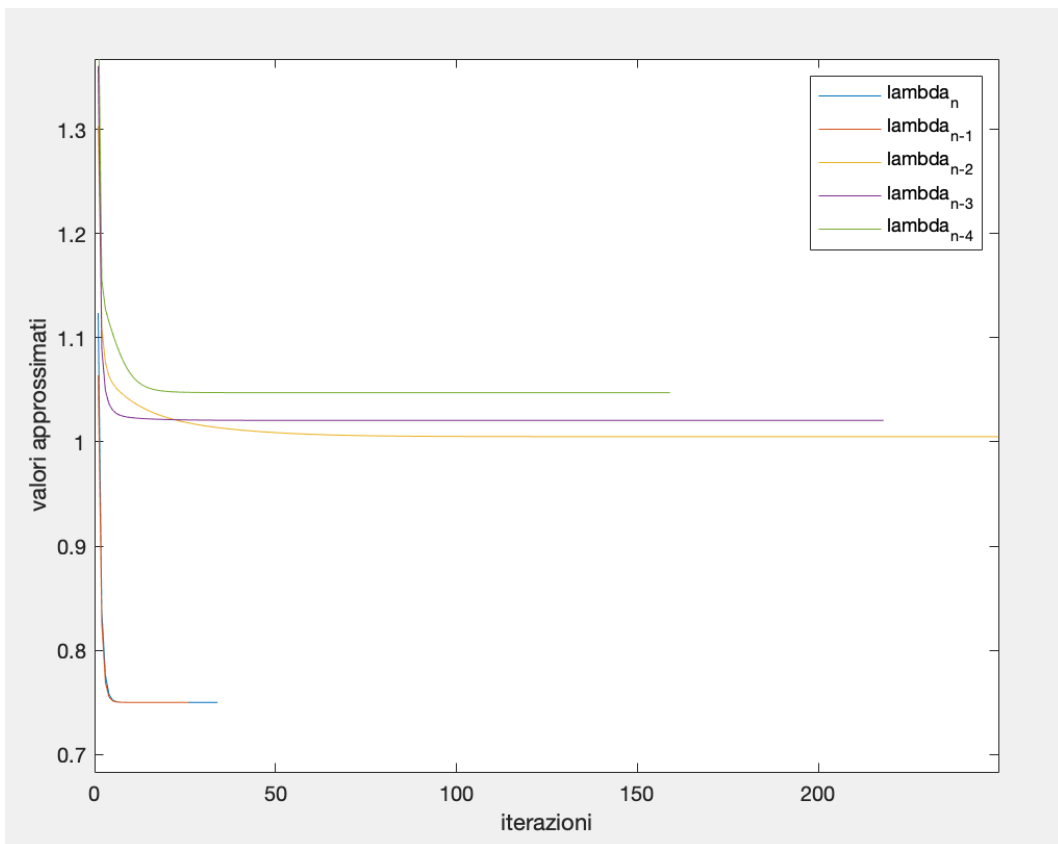


Figura 1.11: Andamento del modulo degli autovalori all'estremità inferiore dello spettro di C

Da notare come richiamando Gram-Schmidt (algoritmo 3) più volte lo schema riesce a distinguere λ_n da λ_{n-1} . In tabella 1.4 si riportano i risultati numerici ottenuti.

	valore approssimato	valore reale	iterazioni
λ_n	0.749999999	0.749999999	34
λ_{n-1}	0.750000000	0.750000000	26
λ_{n-2}	1.005121067	1.005121067	500
λ_{n-3}	1.020691316	1.020691316	218
λ_{n-4}	1.047323300	1.047323300	159

Tabella 1.4: Confronto tra i valori reali ed approssimati per gli autovalori più piccoli di C

Capitolo 2

Calcolo dell'intero spettro della matrice

2.1 Metodo QR

L'algoritmo QR è un metodo iterativo che permette di determinare l'intero spettro di una matrice.

Il metodo consiste in una successione di operazioni di similitudine applicate alla matrice A tali da creare una matrice triangolare superiore avente sulla diagonale gli autovalori di A .

Teorema 1 *Ogni matrice quadrata A di ordine n può essere decomposta nei seguenti fattori:*

$$A = [\vec{q}_1 \quad \vec{q}_2 \quad \dots \quad \vec{q}_n] \begin{bmatrix} r_{1,1} & r_{1,2} & \dots & r_{1,n} \\ & r_{2,2} & \dots & r_{2,n} \\ & & \ddots & \vdots \\ & & & r_{n,n} \end{bmatrix} = QR \quad (2.1)$$

- Una matrice ortogonale Q ($Q^T Q = I$)

- Una matrice triangolare superiore R

La fattorizzazione QR è alla base del metodo e verrà ora descritta.

L'idea si basa sostanzialmente sull'ortogonalizzazione di Gram-Schmidt già introdotta nell'algoritmo 3.

Moltiplicando Q per la prima colonna di R si dovrà ottenere necessariamente la prima colonna di A , ovvero \vec{a}_1 .

$$r_{1,1} \vec{q}_1 = \vec{a}_1 \quad (2.2)$$

Sapendo però che $\|\vec{q}_1\|_2 = 1$, $r_{1,1} = \|\vec{a}_1\|_2$ e quindi $\vec{q}_1 = \vec{a}_1 / \|\vec{a}_1\|_2$. Per la seconda colonna, invece risulta:

$$r_{1,2} \vec{q}_1 + r_{2,2} \vec{q}_2 = \vec{a}_2 \quad (2.3)$$

Premoltiplicando per \vec{q}_1^T e ricordando che $\vec{q}_i^T \vec{q}_i = 1$ e che $\vec{q}_i^T \vec{q}_j = 0$ ottengo:

$$r_{1,2} = \vec{q}_1^T \vec{a}_2 \quad (2.4)$$

Dalla (2.3), ricordando che $\|\vec{q}_2\|_2$ deve essere pari a 1, ricavo:

$$r_{2,2} = \|\vec{a}_2 - r_{1,2}\vec{q}_1\|_2 \quad (2.5)$$

E sempre dalla (2.3), conoscendo ora $r_{1,2}$ e $r_{2,2}$, posso calcolare \vec{q}_2

$$\vec{q}_2 = \frac{1}{r_{2,2}}(\vec{a}_2 - r_{1,2}\vec{q}_1) \quad (2.6)$$

A questo punto risultano definite le prime 2 colonne delle matrici Q ed R, non mi resta che generalizzare la procedura per il calcolo di tutte le altre colonne. Moltiplicando una generica colonna k di R per Q ottengo \vec{a}_k come:

$$\sum_{i=1}^k r_{i,k}\vec{q}_i = \vec{a}_k \quad (2.7)$$

Come fatto in precedenza se premoltiplico la precedente espressione per \vec{q}_j^T con $j = 1, \dots, k-1$, sfruttando l'ortogonalità della matrice Q, posso ricavare uno ad uno i coefficienti della colonna k della matrice R a parte $r_{k,k}$.

$$r_{j,k} = \vec{q}_j^T \vec{a}_k \quad j = 1, \dots, k-1 \quad (2.8)$$

A questo punto non resta che riscrivere la (2.7) isolando il termine relativo a \vec{q}_k .

$$r_{k,k}\vec{q}_k = \vec{a}_k - \sum_{i=1}^{k-1} r_{i,k}\vec{q}_i \quad (2.9)$$

Ricordando che $\|\vec{q}_k\|_2 = 1$:

$$r_{k,k} = \|\vec{a}_k - \sum_{i=1}^{k-1} r_{i,k}\vec{q}_i\|_2 \quad \vec{q}_k = \frac{1}{r_{k,k}} \left(\vec{a}_k - \sum_{i=1}^{k-1} r_{i,k}\vec{q}_i \right) \quad (2.10)$$

Una volta in possesso delle (2.8), (2.10) sono in grado di calcolare tutti i termini di cui necessito per la costruzione delle matrici Q ed R, e quindi sono in grado di operare la fattorizzazione.

L'algoritmo 4 riportato in sequenza rappresenta l'implementazione del processo appena descritto al calcolatore.

Algorithm 4 Fattorizzazione QR

```

1: procedure QRM FACT(A)
2:    $[n, m] = \text{size}(A)$ ;  $Q = \text{zeros}(n, m)$ ;  $R = \text{zeros}(n, m)$ ;  $\triangleright$  Creo matrici Q e R
3:    $R_{1,1} = \text{norm}(A_{:,1})$ ;  $Q_{:,1} = A_{:,1}/R_{1,1}$ ;  $\triangleright$  Assegno valori di partenza
4:
5:   for  $k = 2 \rightarrow m$  do
6:      $Q_{:,k} = A_{:,k}$ ;
7:     for  $j = 1 \rightarrow k-1$  do
8:        $R_{j,k} = Q'_{:,j} Q_{:,k}$ ;
9:        $Q_{:,k} = Q_{:,k} - R_{j,k} Q_{:,j}$ ;
10:    end for
11:     $R_{k,k} = \text{norm}(Q_{:,k})$ ;
12:     $Q_{:,k} = Q_{:,k}/R_{k,k}$ ;
13:  end for
14:
15: end procedure

```

Come detto in precedenza il metodo QR consiste in una serie di operazioni di similitudine. Prendiamo la matrice A e costruiamo una successione di matrici con la seguente formula:

$$A_{k+1} = Q_k^T A_k Q_k = Q_k^T Q_k R_k Q_k = R_k Q_k \quad (2.11)$$

Noto che moltiplicando sia a destra che a sinistra A_k per la matrice Q_k , ottenuta dalla fattorizzazione QR, non si va a modificare lo spettro di A_{k+1} in quanto l'operazione risulta essere una similitudine tra matrici.

Al limite la successione (2.11) diventa:

$$\lim_{k \rightarrow \infty} A_k = U \quad \lim_{k \rightarrow \infty} Q_k = I \quad \lim_{k \rightarrow \infty} R_k = U \quad (2.12)$$

Avrò quindi ottenuto una matrice R triangolare superiore che avrà sulla propria diagonale gli autovalori della matrice A di partenza.

Algorithm 5 Metodo QR

```

1: procedure QR METHOD(A)
2:    $err = 1; toll = 10^{-8};$                                 ▷ Assegno valori di partenza
3:    $itmax = 100; iter = 0;$ 
4:    $[Q, R] = QRfact(A);$ 
5:
6:   while  $iter \leq itmax, err \geq toll$  do
7:      $iter = iter + 1;$ 
8:      $A = RQ;$                                               ▷ Calcolo nuova matrice A e la fattorizzo
9:      $[Q, R1] = QRfact(A);$ 
10:     $err = norm(diag(R1) - diag(R));$                        ▷ Controllo sulla convergenza
11:     $R = R1;$ 
12:  end while
13:
14: end procedure

```

Riguardo l'algoritmo 5 appena riportato si possono fare alcune osservazioni. Innanzitutto, come si può vedere alla riga 8, lo schema contiene un prodotto matrice-matrice. Questa operazione ha un costo computazionale molto elevato, nell'ordine delle n^2 operazioni, per matrici dense. La soluzione è modificare la matrice A prima di applicare il metodo QR come descritto nel paragrafo 2.2.

Per quanto riguarda il controllo di convergenza sullo schema è possibile operare calcolando e poi confrontando con una tolleranza fissata la norma dello scarto tra la diagonale di R_{k+1} ed R_k .

Un'altra possibilità è quella di applicare la norma- ∞ , infatti da alcune osservazioni, derivanti da prove svolte su Matlab, l'autovalore λ_1 (ovvero il più grande) è il più lento a convergere. Una volta verificata la convergenza di λ_1 anche gli altri autovalori si saranno stabilizzati su un valore preciso.

Si applica il metodo QR alla matrice C (1.9).

In figura 2.1 vediamo raffigurato lo spettro di C e i valori assunti dalla diagonale di R durante la convergenza.

La convergenza del singolo autovalore si legge in verticale, gli autovalori sono ordinati da λ_1 a λ_n sull'asse delle ascisse. L'asse delle ordinate da indicazione sul modulo. Dove i pallini sono più fitti e vicini ai valori reali avremo una convergenza più rapida. Vediamo come gli autovalori all'estremità inferiore dello spettro raggiungano più rapidamente il valore corretto.

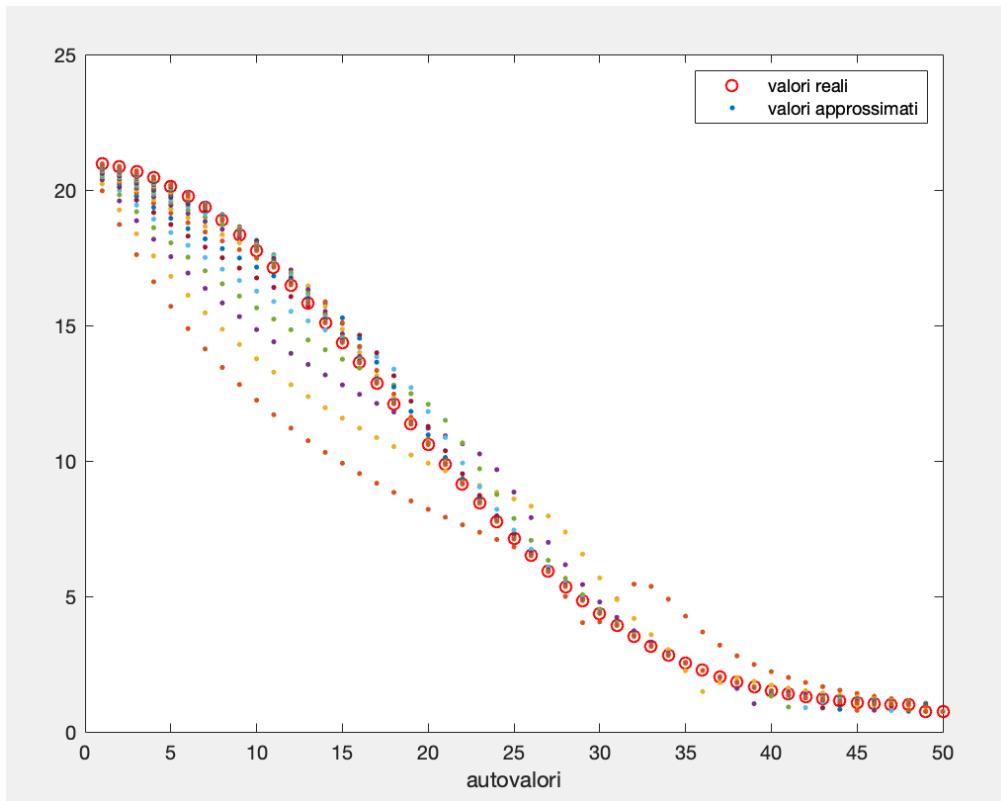
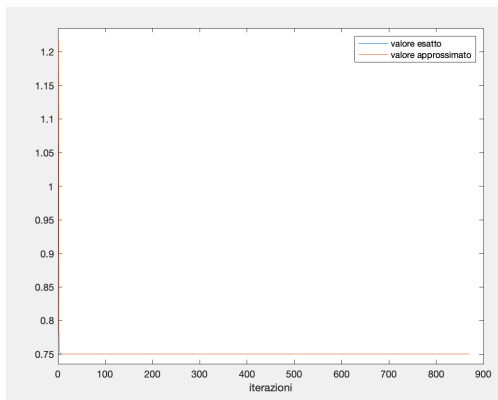
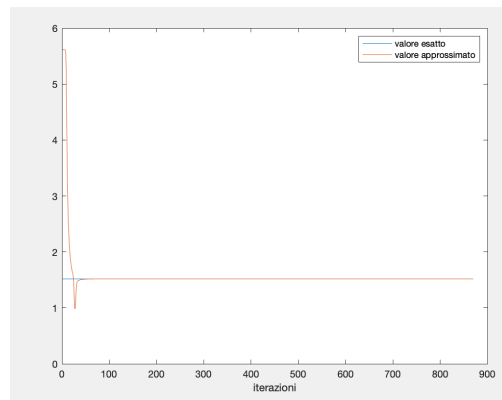


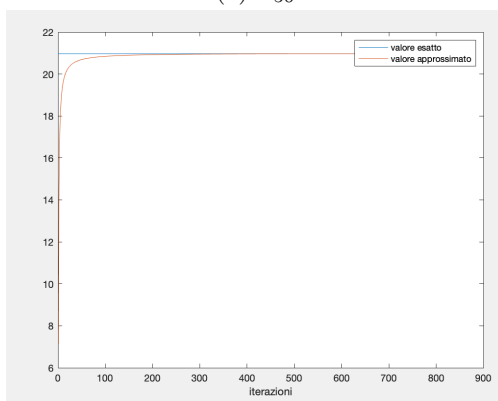
Figura 2.1: Visualizzazione dei valori assunti da ogni autovalore di C durante la convergenza del metodo QR



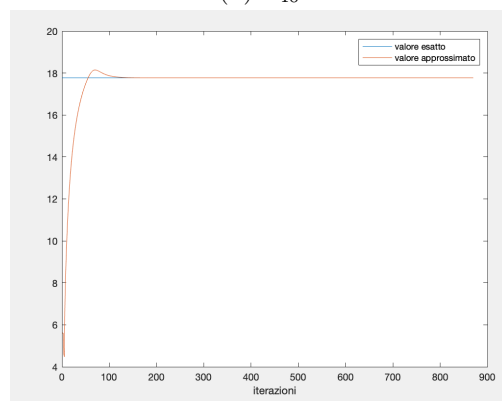
(a) λ_{50}



(b) λ_{40}



(c) λ_1



(d) λ_{10}

Figura 2.2: Tendenza al valore esatto al progredire delle iterazioni del metodo QR per quattro autovalori di C

Si scelgono quattro autovalori di C e si riportano in figura 2.2 gli andamenti dei valori calcolati fino al raggiungimento della convergenza. Anche in questa visualizzazione vediamo come λ_{50} e λ_{40} si assestino più rapidamente vicino ai loro valori corretti.

La tolleranza utilizzata in questo caso è 10^{-8}

2.2 Metodo di Lanczos

La convergenza del metodo QR in genere è veloce ma, come si è appena descritto, il costo computazionale del metodo è molto alto, a maggior ragione se la matrice A oggetto di analisi non è sparsa. Man mano che le dimensioni di A crescono diventa proibitivo calcolarne gli autovalori. Il metodo di Lanczos, tramite un'operazione di similitudine, permette di trasformare una qualsiasi matrice A simmetrica e definita positiva in una matrice T tridiagonale.

La nuova matrice T avrà solamente 3 valori non nulli per colonna e questo renderà più rapida ed efficiente ogni iterazione del metodo QR.

Ipotizziamo di generare in \mathbb{R}^n , una successione di vettori ortonormali a partire da un vettore \vec{v}_1 arbitrario di norma euclidea unitaria seguendo una procedura di ortogonalizzazione di Gram-Schmidt.

Il vettore $k + 1$ esimo sarà trovato con la seguente relazione:

$$\vec{v}_{k+1} = A\vec{v}_k - \sum_{j=1}^k h_{j,k} \vec{v}_j \quad (2.13)$$

Il nuovo vettore generato con la (2.13) andrà normalizzato. Inoltre, in linea teorica, il vettore $n + 1$ esimo sarà il vettore nullo perchè contemporaneamente ortogonale a n vettori in uno spazio vettoriale \mathbb{R}^n .

Essendo i vettori della successione ortogonali fra loro, il prodotto scalare dovrà essere nullo.

$$\vec{v}_j^T \vec{v}_{k+1} = \vec{v}_j^T A\vec{v}_k - h_{j,k} \vec{v}_j^T \vec{v}_j = 0 \quad (2.14)$$

Sapendo che $\vec{v}_j^T \vec{v}_j = 1$, posso quindi ricavare $h_{j,k}$ come:

$$h_{j,k} = \vec{v}_j^T A\vec{v}_k \quad (2.15)$$

Si dimostra che $h_{j,k} = 0 \quad \forall \quad j \leq k - 2$

$$h_{j,k} = \vec{v}_j^T A\vec{v}_k = \vec{v}_k^T A\vec{v}_j = \vec{v}_k^T \left(\|\vec{v}_{j+1}\|_2 \vec{v}_{j+1} + \sum_{i=1}^j h_{i,j} \vec{v}_i \right) = 0 \quad \text{per } j \leq k - 2 \quad (2.16)$$

Infatti riscrivendo la (2.15) osservo che, per via dell'ortogonalità dei vettori della successione, il risultato della (2.16) sarà sempre zero per $j \leq k - 2$.

Pertanto gli unici valori non nulli si troveranno per $h_{k,k}$, $h_{k-1,k}$ e $h_{k,k+1}$ (in seguito chiamati α_k , β_k e β_{k+1})

I termini sulla diagonale principale si calcolano come:

$$h_{k,k} = \vec{v}_k^T A\vec{v}_k \quad (2.17)$$

I termini sulla sovradiagonale e sottodiagonale si calcolano mediante una norma-2 come mostrato nella seguente equazione:

$$h_{k,k+1} = \vec{v}_k^T A\vec{v}_{k+1} = \vec{v}_k^T (\|\vec{v}_{k+1}\|_2 \vec{v}_{k+1} + h_{k,k} \vec{v}_k + h_{k-1,k} \vec{v}_{k-1}) = \|\vec{v}_{k+1}\|_2 \quad (2.18)$$

Con gli n vettori generati con la (2.13) costruisco una matrice V_n le cui colonne saranno gli stessi vettori, mentre con i termini α_k , β_k e β_{k+1} costruisco la matrice T_n . Ottengo che:

$$V_n T_n = A V_n \quad (2.19)$$

Sapendo che V_n è ortogonale per costruzione riscrivo la (2.19) come:

$$T_n = V_n^T A V_n \quad (2.20)$$

Dalla (2.20) vedo chiaramente che la matrice T_n è ottenuta con un'operazione di similitudine dalla matrice A di partenza, di conseguenza T_n avrà mantenuto gli autovalori di A . Posso ora applicare il metodo QR a T_n che essendo tridiagonale assicura un minor costo computazionale.

Algorithm 6 Metodo di Lanczos

```

1: procedure LANCZOSMETHOD(A,it)
2:                                     ▷ Preparo valori di partenza
3:    $T = \text{zeros}(it)$ 
4:    $[n] = \text{size}(A, 1)$ 
5:    $\vec{v}_1 = \text{zeros}(n); \vec{v}_1(1) = 1;$ 
6:    $\beta = 0, \vec{v}_0 = \text{zeros}(n), \alpha = \vec{v}_1^T A \vec{v}_1;$ 
7:    $T_{1,1} = \alpha$ 
8:
9:   for  $k = 1 \rightarrow it - 1$  do
10:     $\vec{v}_2 = A \vec{v}_1 - \alpha \vec{v}_1 - \beta \vec{v}_0;$ 
11:     $\beta = \text{norm}(\vec{v}_2);$                                      ▷ Aggiorno  $\beta$ 
12:     $\vec{v}_2 = \vec{v}_2 / \beta;$                                        ▷ Normalizzo  $\vec{v}_2$ 
13:     $\alpha = \vec{v}_2^T A \vec{v}_2;$                                        ▷ Aggiorno  $\alpha$ 
14:                                     ▷ inserisco i valori di  $\alpha$  e  $\beta$  nella matrice  $T$ 
15:     $T_{k+1,k+1} = \alpha$ 
16:     $T_{k,k+1} = T_{k+1,k} = \beta;$ 
17:     $\vec{v}_0 = \vec{v}_1 \quad \vec{v}_1 = \vec{v}_2$ 
18:  end for
19:   $T = \text{sparse}(T);$ 
20: end procedure

```

2.2.1 Problema degli autovalori migranti

Il metodo di Lanczos può essere utilizzato per determinare anche solamente le estremità dello spettro. Immaginiamo di considerare $m < n$ e di fermarci alla m -esima iterazione dell' algoritmo 6, quello che avremmo ottenuto sarà una matrice T_m simmetrica e definita positiva.

T_m essendo un minore principale di T_n avrà come autovalori un sottoinsieme degli autovalori di A

In questi casi si verifica che l'insieme degli autovalori di T_m contiene un sottoinsieme degli autovalori estremi di A . Quindi se l'interesse applicativo si concentra sulle estremità dello spettro di A è possibile operare nel seguente modo.

Si considera nuovamente la matrice C introdotta nel capitolo 1.

In tabella 2.1 vengono riportati gli autovalori estremi ottenuti dalle matrici T_{30}, T_{40} e T_{50} generate variando in input, sull'algoritmo 6, il valore di it . Con

$m = 30$ e con $m = 40$ si possono distinguere parte degli autovalori di C , una corrispondenza migliore si ha per gli autovalori più grandi.

Dai risultati ottenuti con $m = 50$ ci si aspetterebbe di ottenere lo spettro completo di C , però quello che succede è che compaiono alcuni autovalori che non hanno nulla a che vedere con C . Questi ultimi sono autovalori spuri causati dagli errori di arrotondamento che fanno perdere via via l'ortogonalità dei vettori \vec{v}_k . Vengono chiamati anche autovalori migranti (sottolineati nelle tabelle) perché tendono a cambiare mano a mano che m viene aumentato, mentre gli autovalori veri di A tendono a rimanere stabili. La loro presenza rende impossibile determinare l'insieme completo di autovalori di C applicando Lanczos per $m = n$.

$\lambda(C)$	$\lambda(T_{50})$	$\lambda(T_{40})$	$\lambda(T_{30})$
20.965219707	20.965219568	20.965211576	20.964850280
20.861189485	20.861189621	20.861195604	20.847251837
	<u>20.840579938</u>		
20.688837421	20.688837423	20.688839335	20.662000527
20.449697430	20.449697430	20.449697454	20.434855112
	<u>20.201513065</u>		
20.145890108	20.145891060	20.145889305	
19.780096315	19.780096316	19.780096255	19.779752521
19.355523856	19.355523856	19.355522882	19.184498746
18.875867748	18.875867748	18.875867240	18.735230095
\vdots	\vdots	\vdots	\vdots
1.205184513	1.205178388	1.185148608	
1.138087560			
1.086010240	1.086035705		1.107679830
1.047323300	1.047456089	1.068353481	
1.020691316	1.020767737		
1.005121067	1.005124790	1.007494219	1.011950337
0.750000000	0.750000108		
0.749999999			

Tabella 2.1: Autovalori estremi delle matrici T_{30}, T_{40} e T_{50} confrontati con gli autovalori di C

La successione di vettori \vec{v}_k (2.13) in aritmetica esatta dovrà fermarsi al passo $n + 1$ generando il vettore nullo in quanto lo spazio vettoriale in cui si genera la successione è \mathbb{R}^n .

Implementando l'algoritmo 6 su Matlab è possibile continuare a generare vettori con la (2.13) anche dopo il passo n . Questo accade per via dell'accumularsi di errori di arrotondamento. È possibile proseguire con le iterazioni anche per $m > n$. Si creano quindi, a partire da C , le matrici T_{60} e T_{80} .

In questo caso necessariamente saranno presenti ulteriori autovalori spuri, ma come vediamo dalla tabella 2.2 la totalità degli autovalori estremi di C sono rappresentati in modo molto accurato in T_{60} e T_{80} . Notiamo inoltre che si generano delle molteplicità fittizie, ad esempio λ_1 in T_{80} ha molteplicità algebrica pari a due.

In genere non sappiamo quali sono gli autovalori che stiamo cercando. Per distinguere gli autovalori spuri da quelli corretti è sufficiente cambiare il vettore iniziale \vec{v}_1 nell'algoritmo 6. Come è facile immaginare gli autovalori corretti

saranno indipendenti dal vettore iniziale e resteranno fissi, tuttavia quelli spuri saranno necessariamente dipendenti da \vec{v}_1 .

Generando con il metodo di Lanczos due matrici T_m , variando \vec{v}_1 e applicando successivamente il metodo QR sarà possibile, semplicemente confrontando le diagonali delle due matrici R , risalire allo spettro reale di A .

In tabella 2.3 vengono confrontati i risultati ottenuti generando due diverse matrici T_{60} a partire da C . Gli autovalori corretti trovati sono precisi e non variano mentre quelli migranti sono diversi e perciò facilmente individuabili.

$\lambda(C)$	$\lambda(T_{80})$	$\lambda(T_{60})$
20.965219707	20.965219707	20.965219707
	20.965219706	
20.861189485	20.861189485	20.861189485
	20.861185306	20.862554350
		<u>20.702974679</u>
20.688837421	20.688837419	20.688837421
	20.688841566	
20.449697430	20.449697430	20.449697430
	20.449697413	20.448310905
20.145890108	20.145890108	20.145890108
	20.145890083	
		<u>20.058007058</u>
19.780096315	19.780096315	19.780096315
	19.780096299	
19.355523856	19.355523856	19.355523856
	19.355523790	
		<u>19.348888466</u>
18.875867748	18.875867748	18.875867748
\vdots	\vdots	\vdots
1.138087560	1.138087560	1.138087560
1.086010240	1.086010240	1.086010240
1.047323300	1.047323300	1.047323300
1.020691316	1.020691316	1.020691316
1.005121067	1.005121067	1.005121067
0.750000000	0.750000000	
0.749999999	0.749999999	0.749999999

Tabella 2.2: Confronto tra gli autovalori estremi di C con quelli delle matrici T_{80} e T_{60}

$\lambda(C)$	$\lambda(T_{60})(a)$	$\lambda(T_{60})(b)$
20.965219707	20.965219707	20.965219707
	20.960596476	
20.861189485	20.861189485	20.861189485
		20.862554350
	<u>20.839708382</u>	<u>20.702974679</u>
20.688837421	20.688839528	20.688837421
20.449697430	20.449697430	20.449697430
		<u>20.448310905</u>
20.145890108	20.145890108	20.145890108
	<u>20.092000353</u>	<u>20.058007058</u>
19.780096315	19.780096315	19.780096315
	<u>19.523513969</u>	<u>19.348888466</u>
19.355523856	19.355.523.990	19.355523856
18.875867748	18.875867748	18.875867748
⋮	⋮	⋮

Tabella 2.3: Influenza di \vec{v}_1 sugli autovalori di T_{60} . Gli autovalori migranti sono sottolineati

Capitolo 3

Applicazione degli algoritmi ad una matrice test

Come già detto nell'introduzione, la ricerca degli autovalori di matrici SDP ha un riscontro pratico in molti problemi di ingegneria.

Una matrice SDP, ad esempio, può generarsi dalla soluzione agli elementi finiti (FEM) di equazioni differenziali alle derivate parziali (PDE).

Queste equazioni sono importanti nell'ambito dell'ingegneria civile perché regolano diversi processi fisici di interesse. Esse sono alla base dello studio della deformazione di una membrana elastica oppure l'andamento del potenziale idraulico nel flusso di un fluido attraverso un mezzo poroso.

In questo caso, l'equazione che permette la soluzione in stazionario di questi problemi è l'equazione differenziale di Poisson.

$$\frac{\partial^2 u}{\partial x^2} + \frac{\partial^2 u}{\partial y^2} = f$$

In seguito viene illustrato come a partire da quest'ultima equazione si costruisce la matrice di rigidezza H . Ad essa verranno applicati i metodi descritti nei precedenti capitoli al fine di determinare le principali caratteristiche del suo spettro.

3.1 Soluzione agli elementi finiti dell'equazione di Poisson

Partiamo dall'equazione di Poisson:

$$\frac{\partial^2 u}{\partial x^2} + \frac{\partial^2 u}{\partial y^2} = f \quad (3.1)$$

$$\begin{cases} u(x, y) = \bar{u}(x, y) & \forall (x, y) \in \Omega_D \\ \frac{\partial u}{\partial n}(x, y) = q(x, y) & \forall (x, y) \in \Omega_N \end{cases} \quad (3.2)$$

Definito un dominio Ω e le condizioni al contorno (3.2), l'interesse è quello di trovare una soluzione all'equazione (3.1). Si definisce uno spazio funzionale, chiamato spazio trial, $S_n = \xi_1, \xi_2, \dots, \xi_n$. \hat{u}_n è una combinazione lineare delle

funzioni appartenenti a S_n ed approssima la soluzione esatta u .

$$\hat{u}_n(x, y) = \sum_{j=1}^n \alpha_j \xi_j(x, y) \quad (3.3)$$

L'applicazione del metodo variazionale di Galerkin permette di trovare l'approssimazione migliore di \hat{u}_n all'interno di S_n trovando i coefficienti α presenti nell'equazione (3.3) tramite l'imposizione della seguente condizione:

$$\sum_{i=1}^n \int \int_{\Omega} \left(f - \frac{\partial^2 \hat{u}_n}{\partial x^2} + \frac{\partial^2 \hat{u}_n}{\partial y^2} \right) \xi_i d\Omega = 0 \quad (3.4)$$

ovvero imponendo l'ortogonalità tra il residuo, individuato come $f - \nabla^2 u$, e uno spazio funzionale, chiamato spazio test, che coincide con S_n . Applicando il lemma di Green, la (3.4) diventa:

$$-\sum_{i=1}^n \int \int_{\Omega} \left(\frac{\partial \hat{u}}{\partial x} \frac{\partial \xi_i}{\partial x} + \frac{\partial \hat{u}}{\partial y} \frac{\partial \xi_i}{\partial y} \right) d\Omega + \int \int_{\partial\Omega_N} \xi_i \left(\frac{\partial \hat{u}_n}{\partial x} n_x + \frac{\partial \hat{u}_n}{\partial y} n_y \right) dS = \int \int_{\Omega} f \xi_i d\Omega \quad (3.5)$$

Inserendo la definizione di \hat{u}_n otteniamo:

$$\sum_{i=1}^n \sum_{j=1}^n \int \int_{\Omega} \left(\frac{\partial \xi_j}{\partial x} \frac{\partial \xi_i}{\partial x} + \frac{\partial \xi_j}{\partial y} \frac{\partial \xi_i}{\partial y} \right) \alpha_j d\Omega = - \int \int_{\Omega} f \xi_i d\Omega + \int \int_{\partial\Omega_N} \xi_i q dS \quad (3.6)$$

Riscrivendo la (3.6), individuamo in H la matrice di rigidezza, in $\vec{\alpha}$ i coefficienti della combinazione lineare (3.3) ed in \vec{f} il termine noto.

$$\mathbf{H}\vec{\alpha} = \vec{f} \quad (3.7)$$

Al fine di definire le funzioni ξ_i discretizziamo il dominio $\Omega = [(x, y) : -1 \leq x \leq 1, -1 \leq y \leq 1]$ in elementi finiti triangolari. Ad ogni nodo i o vertice degli elementi è associata una funzione ξ_i . Più la discretizzazione è fitta più grandi saranno le dimensioni di H . Le funzioni ξ_i sono a supporto locale, ovvero sono non nulle solamente in un intorno del rispettivo nodo i . Ciò significa che la matrice di rigidezza H generata sarà sparsa. Il generico elemento di H sarà così determinato:

$$h_{i,j} = \sum_e h_{i,j}^{(e)} = \sum_e \int \int_{\Omega^{(e)}} \left(\frac{\partial \xi_j^{(e)}}{\partial x} \frac{\partial \xi_i^{(e)}}{\partial y} + \frac{\partial \xi_j^{(e)}}{\partial x} \frac{\partial \xi_i^{(e)}}{\partial y} \right) d\Omega^{(e)} \quad (3.8)$$

Per ultima cosa dovranno essere imposte le condizioni al contorno di Dirichlet (3.2) La matrice H così generata sarà per costruzione simmetrica e definita positiva. Suddividendo Ω in 10240 elementi finiti triangolari e 5249 nodi (figura 3.1), otteniamo una matrice di rigidezza H di ordine $n = 5249$ su cui possiamo applicare gli algoritmi descritti in precedenza.

In figura 3.2 troviamo la rappresentazione degli autovalori di H calcolati con la funzione *eig* di Matlab. Il cluster di autovalori pari a 3 è dovuto all'imposizione delle condizioni al contorno di Dirichlet.

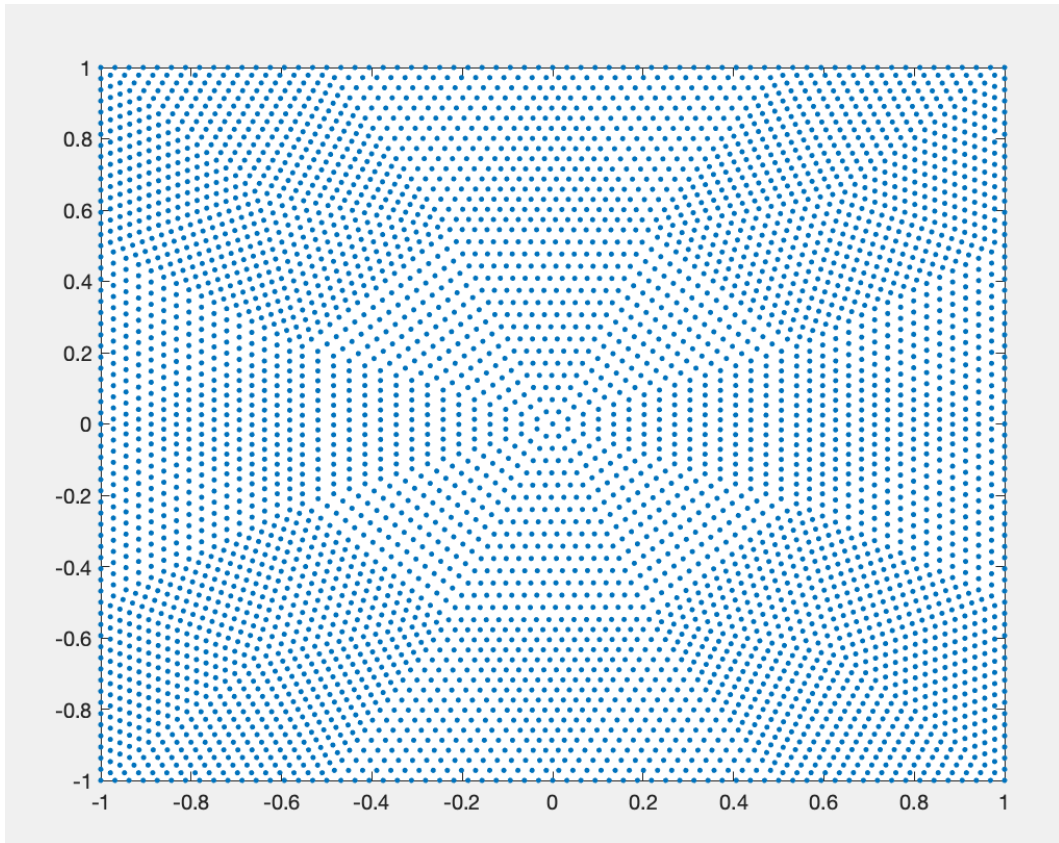


Figura 3.1: Discretizzazione dominio Ω in 5249 nodi.

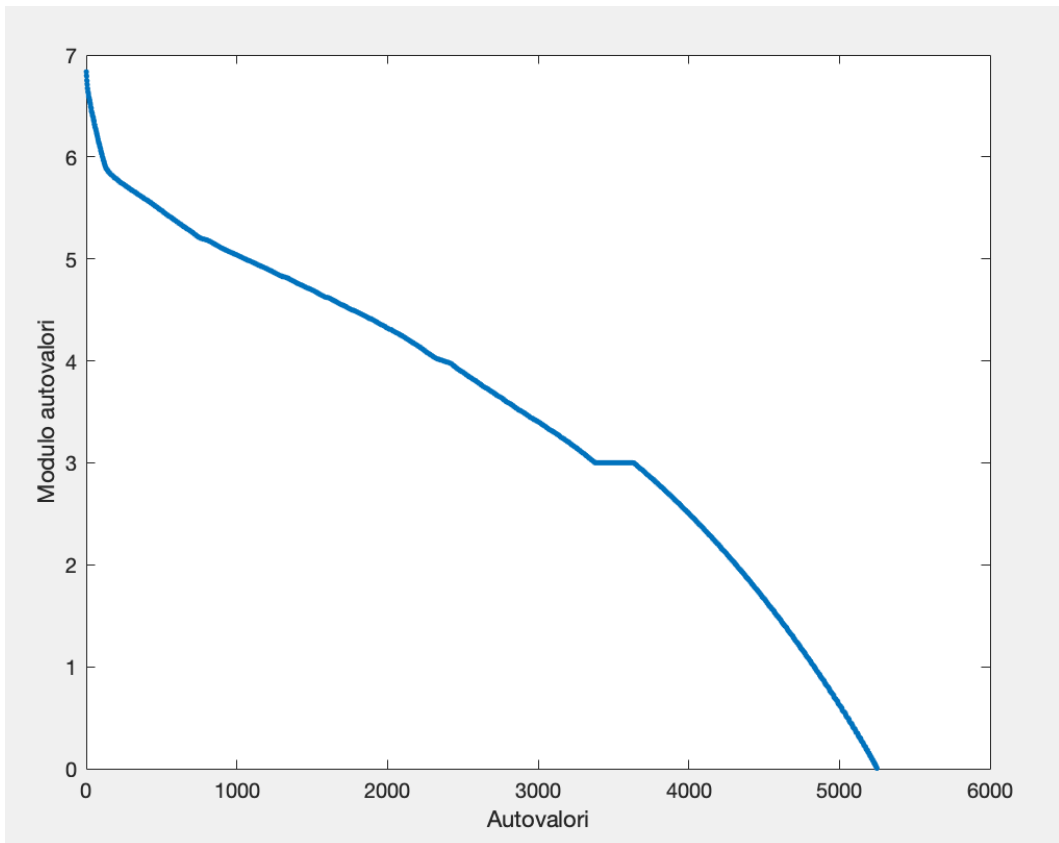
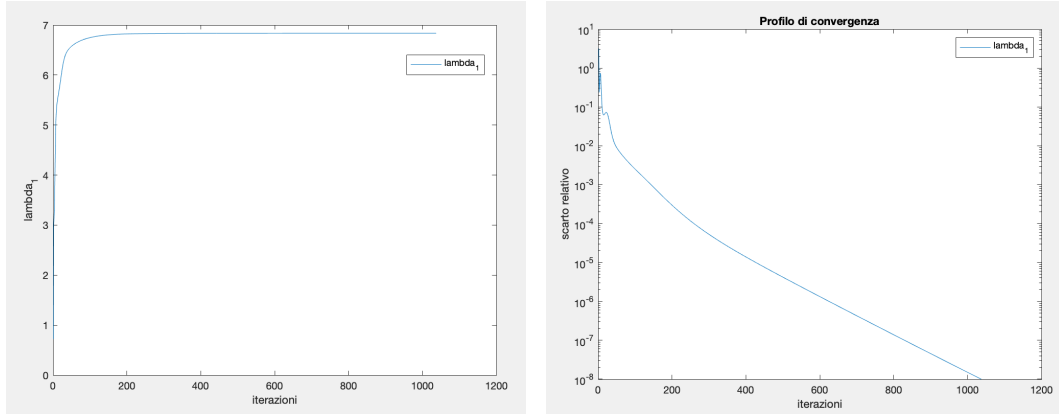


Figura 3.2: Rappresentazione grafica dello spettro della matrice H

Si determina il valore di λ_1 applicando il metodo delle potenze.

	valore approssimato	valore reale	iterazioni
λ_1	6.834666078	6.834666732	1037

Tabella 3.1: Risultati numerici dell'applicazione del metodo delle potenze



(a) Valori assunti da λ_1

(b) Profilo di convergenza

Figura 3.3: Risultati ottenuti applicando ad H il metodo delle potenze. \vec{z}_0 random e $\text{toll}=10^{-8}$

Si determina il valore di λ_n applicando il gradiente coniugato applicato al quoziente di Rayleigh.

Al variare del preconditionatore troviamo i seguenti risultati:

Valore approssimato	Iterazioni	Precondizionatore
0.004279327	145	$K^{-1} = I$
0.004279327	140	$K^{-1} = F^{-1}$
0.004279327	52	$K^{-1} = (\tilde{L}\tilde{L}^T)^{-1}$

Tabella 3.2: Risultati del calcolo di λ_n al variare del preconditionatore

In questo caso, $K^{-1} = (\tilde{L}\tilde{L}^T)^{-1}$ permette di ottenere i risultati migliori in termini di convergenza, giustificando il suo maggior costo computazionale.

L'efficacia del preconditionatore di Jacobi è limitata, infatti rispetto allo schema non modificato l'accelerazione ricavata è minima. L'effetto di $K^{-1} = F^{-1}$ dipende dalla matrice a cui è applicato, se quest'ultima non è fortemente diagonalmente dominante la performance diminuisce.

In figura 3.4 si riportano graficamente i profili di convergenza.

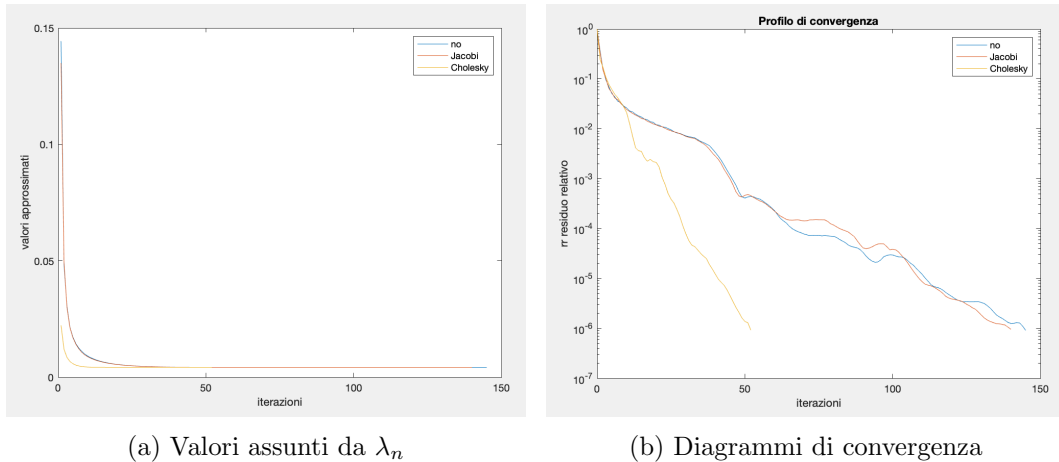


Figura 3.4: Risultati ottenuti applicando il GC al quoziente di Rayleigh al variare dei preconditionatori. \vec{z}_0 random e tolleranza pari a 10^{-6}

Al fine di determinare più autovalori estremi di H si deflaziona prima il metodo delle potenze e successivamente il gradiente coniugato. Si determinano i primi cinque autovalori di H .

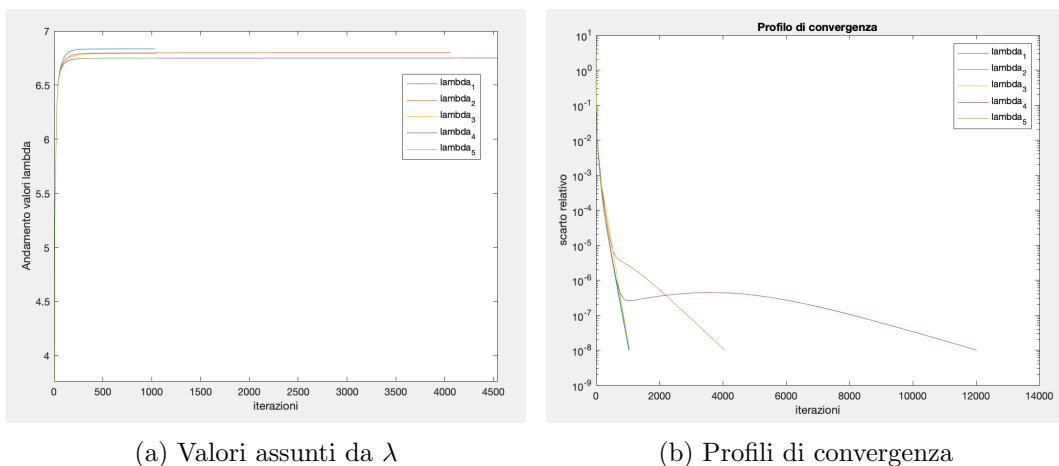


Figura 3.5: Risultati ottenuti deflazionando la matrice H con il metodo delle potenze

Come ci aspettiamo gli autovalori più vicini al successivo convergono più lentamente. È il caso di λ_2 e λ_4 .

	valore approssimato	valore esatto	iterazioni
λ_1	6.834666078	6.834666732	1037
λ_2	6.798588849	6.798592007	4061
λ_3	6.791943008	6.791939763	1052
λ_4	6.750916999	6.750928710	12023
λ_5	6.748866443	6.748854826	1056

Tabella 3.3: Confronto tra i valori reali ed approssimati per gli autovalori più grandi di H

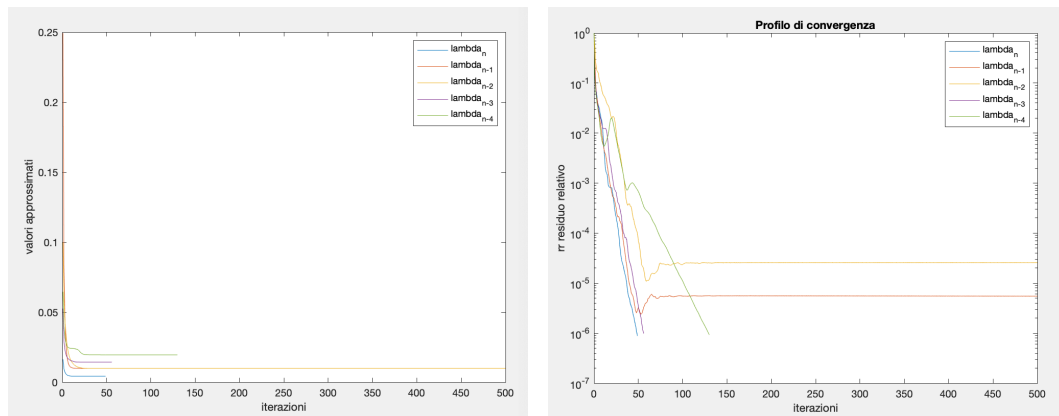
Per il metodo delle potenze conosciamo la velocità di convergenza teorica data da $2\log(\lambda_2/\lambda_1)$, quest'ultima non è altro che la pendenza del profilo di convergenza. Nella seguente tabella vengono confrontate le pendenze teoriche

con le pendenze in condizioni asintotiche dei profili di convergenza in figura 3.5b

	pendenza teorica	pendenza asintotica
λ_1	$- 4.596 \times 10^{-3}$	$- 4.871 \times 10^{-3}$
λ_2	$- 8.503 \times 10^{-4}$	$- 8.318 \times 10^{-4}$
λ_3	$- 5.260 \times 10^{-3}$	$- 5.485 \times 10^{-3}$
λ_4	$- 2.669 \times 10^{-4}$	$- 2.613 \times 10^{-4}$

Tabella 3.4: Confronto tra la pendenza teorica ed effettiva del diagramma di convergenza del metodo delle potenze

Si determinano i cinque autovalori di modulo minore di H .



(a) Valori assunti da λ

(b) Profili di convergenza

Figura 3.6: Risultati ottenuti deflazionando la matrice H con il GCM applicato a $q(\vec{z})$. Si utilizza il preconditionatore di Cholesky che sappiamo essere più efficiente.

Nota che per λ_{n-1} e λ_{n-2} il residuo relativo dopo un certo numero di iterazioni si stabilizza su un valore costante. Questo fenomeno di stagnazione è dovuto al fatto che il residuo per sua natura potrebbe non scendere sotto un certo valore a causa della precisione di macchina limitata. Questo accade in genere per gli autovalori multipli dove è più difficile separarli. Non è necessario proseguire ulteriormente con le iterazioni, i valori ottenuti saranno meno precisi.

	valore approssimato	valore esatto	iterazioni
λ_n	0.004279327	0.004279297	49
λ_{n-1}	0.009815002	0.009814524	500
λ_{n-2}	0.009815312	0.009815778	500
λ_{n-3}	0.014291919	0.014291954	42
λ_{n-4}	0.019442287	0.019442281	130

Tabella 3.5: Confronto tra i valori reali ed approssimati per gli autovalori più piccoli di H

Infine, si creano le matrici T_{500} e T_{1000} con l'algoritmo di Lanczos (6) e successivamente si applica il metodo QR per determinarne gli autovalori.

Osservando nelle figure 3.7 e 3.8 si vede come gli autovalori più piccoli si stabilizzino più rapidamente su un valore costante rispetto agli altri.

In entrambi i casi il numero di iterazioni massime impostato è stato raggiunto, questo perché parte degli autovalori di modulo maggiore non hanno raggiunto la convergenza. Si noti come esempio, in tabella 3.6, che la precisione delle approssimazioni di λ_2 o λ_3 sia inferiore rispetto a quelle di λ_n o λ_{n-1} .

La convergenza del metodo QR dipende dal seguente rapporto:

$$\max_{1 < i < n-1} \left| \frac{\lambda_{i+1}}{\lambda_i} \right| \quad (3.9)$$

per massimizzare 3.9 si usano delle tecniche di traslazione dello spettro, utilizzando il valore di un autovalore noto di H .

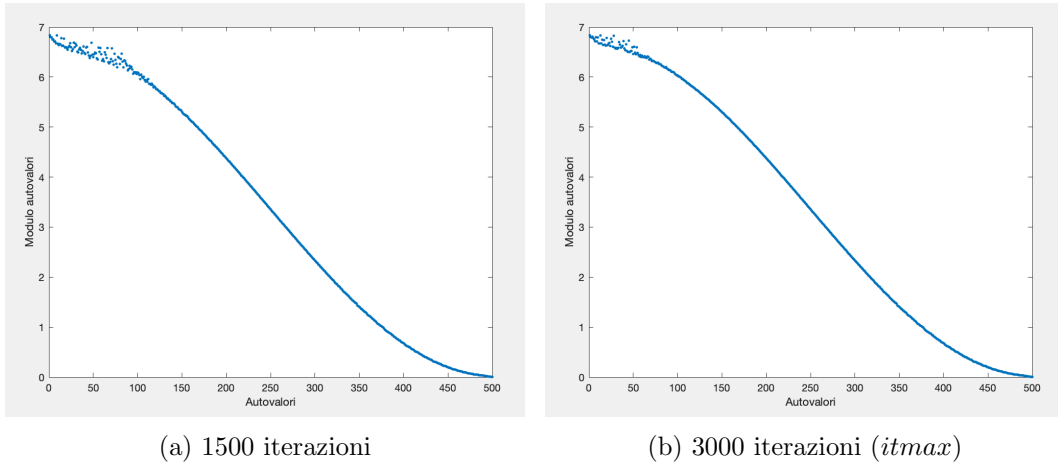


Figura 3.7: Confronto grafico degli autovalori della matrice T_{500} dopo n iterazioni con il metodo QR

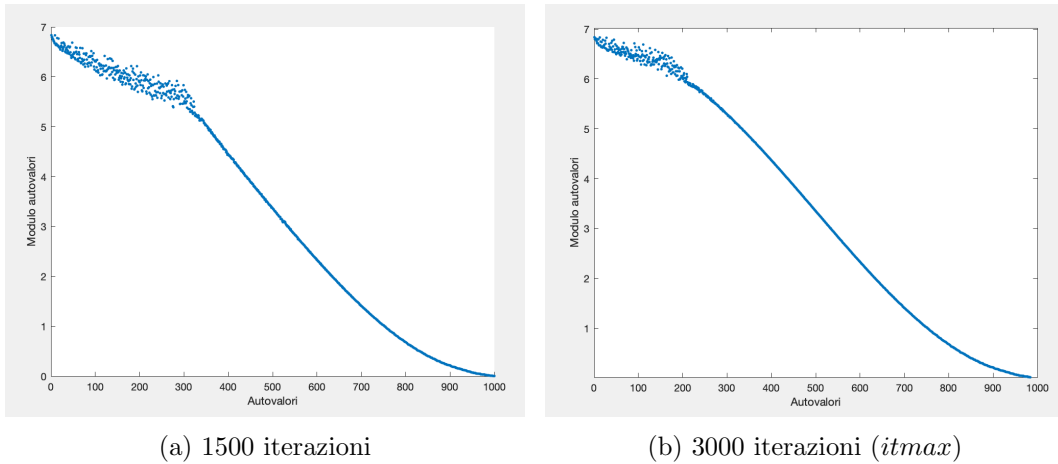


Figura 3.8: Confronto grafico degli autovalori della matrice T_{1000} dopo n iterazioni con il metodo QR

Confrontando con la figura 3.2, l'andamento dello spettro dei due minori principali rispecchia grossomodo quello della matrice H , si perdono le molteplicità create dall'inserimento delle condizioni al contorno. Analizzando con più attenzione le estremità dello spettro, in tabella 3.6, vediamo come esse siano ben rappresentate anche per minori principali molto più piccoli di H , in questo caso T_{1000} e T_{500} .

In T_{1000} si creano diverse molteplicità fittizie, ad esempio su λ_n . Inoltre, confrontando le due matrici T_{500} create a partire da due diversi vettori \vec{v}_1 è possibile individuare qualche autovalore migrante. Se l'interesse è determinare l'intero insieme $\lambda(H)$, non sarà sufficiente creare una matrice di dimensione $n = 5246$ con l'algoritmo di Lanczos, ma sarà necessario generarne una di ordine maggiore.

$\lambda(H)$	$\lambda(T_{1000})$	$\lambda(T_{500}) (a)$	$\lambda(T_{500}) (b)$
6.834666732	6.834666732	6.834666732	6.834666732
		<u>6.824919487</u>	<u>6.807832643</u>
			<u>6.830657701</u>
6.798592007	6.798551277	6.798266978	6.798551198
		6.798105007	
			<u>6.795585806</u>
	6.830545013		
	6.808290848		
	6.775704249		
6.791939763	6.791980453	6.792264490	6.791980532
			6.791902467
	6.791901006		
		<u>6.759437232</u>	<u>6.776159876</u>
6.750928710	6.750227483		6.750227897
6.748854826			
6.713039519	6.713186905	6.713024396	6.713174876
			<u>6.712054099</u>
6.709184641	6.711992833	6.709203180	
6.673326091	6.673275068		6.67327501
6.672289591	6.672550186		6.672589703
	6.671330202		
6.667461459			
⋮	⋮	⋮	⋮
0.0342411	0.0342402	0.0342404	0.0342409
	0.0342378		
0.0342293	0.0342320	0.0342299	0.0342298
0.0241542	0.0241540	0.0241538	0.0241540
	0.0241540		
0.0241532	0.0241533	0.0241536	0.0241534
	0.0241533		
0.0203134	0.0203134	0.0203134	0.0203134
	0.0203134		
0.0194423	0.0194423	0.0194422	0.0194422
	0.0194423	0.0158462	
	0.0194423		
0.0142919	0.0142919	0.0142919	0.0142919
	0.0142919		
	0.0142919		
			<u>0.0111295</u>
0.0098158	0.0098158	0.0098157	0.0098157
	0.0098158		
0.0098145	0.0098145	0.0098146	0.0098145
	0.0098145		
	0.0098292		
	0.0098160		
0.0042793	0.0042793	0.0042793	0.0042793
	0.0042793	0.0042793	0.0042793
	0.0042793		
	0.0042793		

Tabella 3.6: Confronto tra gli autovalori estremi di H con quelli delle matrici T_{500} e T_{1000} . Gli autovalori migranti sono sottolineati.

Capitolo 4

Conclusioni

In questa tesi sono stati implementati i principali algoritmi numerici in grado di calcolare gli autovalori di matrici simmetriche definite positive.

Inizialmente gli algoritmi sono stati testati sulla matrice C (1.9). Successivamente, nel capitolo 3, i metodi sono stati applicati alla matrice H derivante da applicazioni pratiche.

I risultati ottenuti sono stati confrontati con gli autovalori esatti calcolati con la funzione *eig* di Matlab ed è stato possibile concludere che tutti i metodi permettono di ricavare con sufficiente precisione i dati di interesse.

Si nota come si ottengano valori approssimati più precisi per la parte inferiore dello spettro utilizzando il metodo di Lanczos. Risultati accurati si ottengono anche con l'utilizzo del gradiente coniugato applicato al quoziente di Rayleigh.

Dal momento che l'interesse ingegneristico quasi sempre ricade esclusivamente sugli autovalori più piccoli, disporre di metodi accurati per quei autovalori è fondamentale.

Eventuali sviluppi dello studio potrebbero essere rivolti verso l'implementazione di tecniche di traslazione dello spettro per il metodo QR.

Bibliografia

- [1] G. Gambolati, M. Ferronato. *Lezioni di metodi numerici per l'ingegneria*. Libreria progetto, Padova, 2018.
- [2] M. Ferronato. *Esercitazione numerica: soluzione agli elementi finiti dell'equazione della diffusione*.

